

# Вычислительные проблемы моделирования природных и индустриальных процессов в Арктической зоне Российской Федерации

Чл-корр. РАН, д.ф.-м.н., профессор,  
заведующий кафедрой информатики и  
вычислительной математики МФТИ

*Игорь Борисович Петров,*

[petrov@mipt.ru](mailto:petrov@mipt.ru)



# Вычислительные задачи Арктики

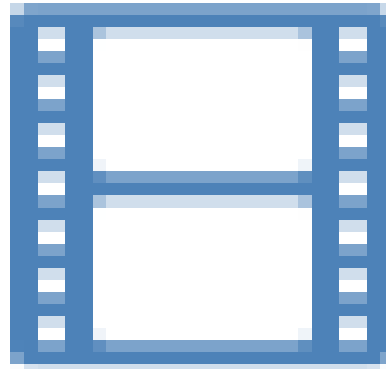
1. Прямые и обратные задачи сейсморазведки. Задачи миграции и инверсии.
2. Прямые и обратные задачи электроразведки;
3. Комплексные задачи сеймо- и электроразведки;
4. Расчет механических и прочностных характеристик льда, как твердого деформируемого тела;
5. Задачи миграции (дрейфа) крупных ледовых образований (КЛО);
6. Задачи безопасности морских стационарных ледостойких платформ (МСЛСП) и плавающих (якорных) платформ нефтегазовой промышленности при воздействии природных факторов (ЛО);
7. Задачи затораживания МСЛП;
8. Моделирование процессов образования КЛО;
9. Расчет на прочность нефтегазо-проводов, наземных и поддонных;
10. Проблемы безопасного плавания судов ледового класса при наличии КЛО;
11. Посадка самолета на плавающую льдину (ледовое поле).

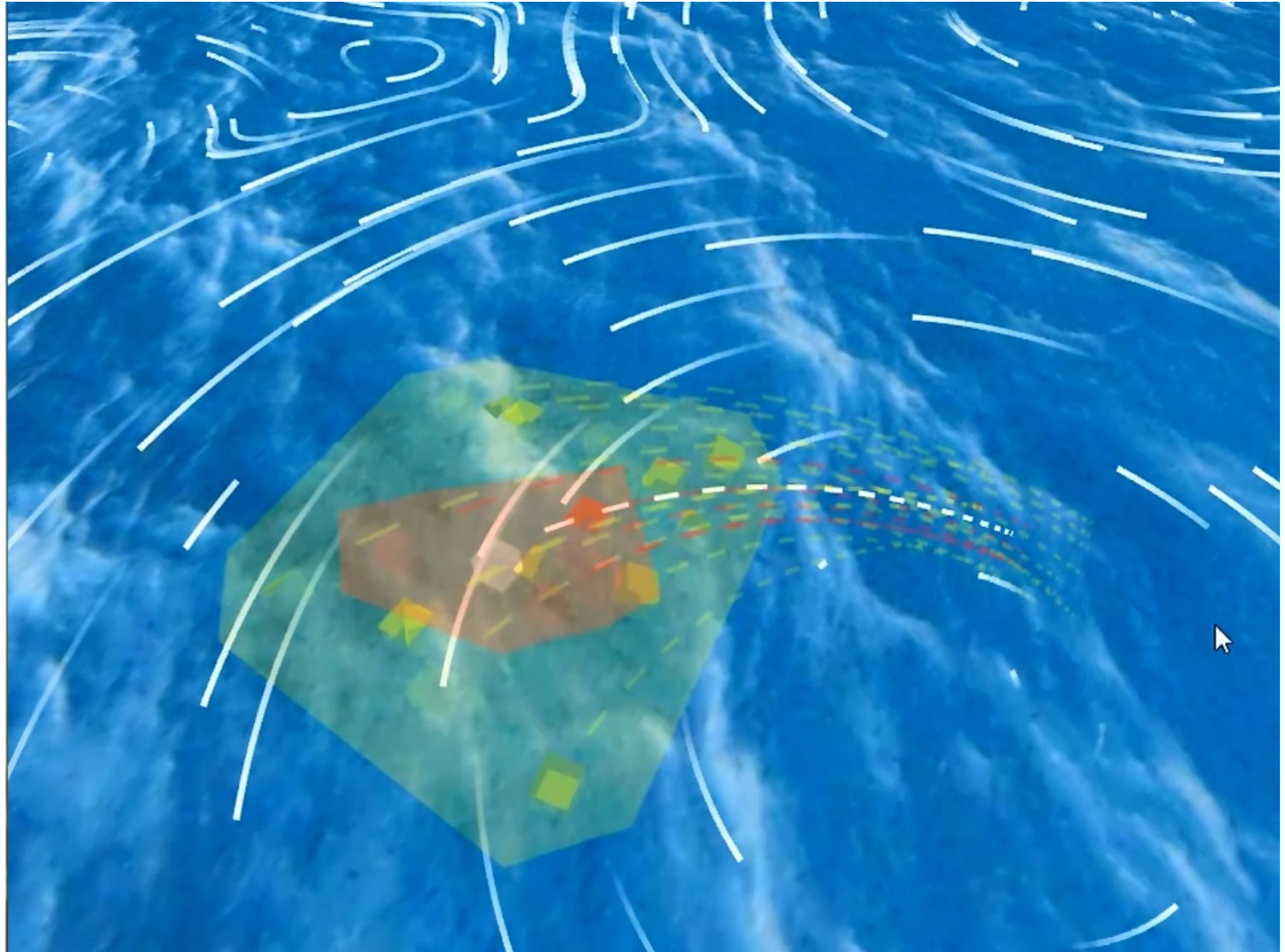
12. Расчет на прочность ледового покрытия при движении по нему транспортных средств.
13. Воздействия периодических и сейсмических нагрузок на технические сооружения в Арктике.
14. Климатические задачи Арктики.
15. Прогнозирование динамики ледовой обстановки с учетом обработки данных наблюдений в воздушном и водном бассейнах Арктики.
16. Обнаружение “метановых бомб” на Ямале.
17. Задачи геомеханики (расчет локализации контактных поверхностей в геологических средах).
18. Определение положения газоносных слоев вблизи скважины (задачи безопасности скважин).
19. Расчет поля температур в КЛО с учетом фазовых переходов, солнечной радиации и разрушения льда при их движении в Северных морях.
20. Расчет жизненного цикла ледового острова с учетом тепловых, радиационных и механических нагрузок.
21. Проблема связи в Арктической зоне РФ.
22. Проблема жизнеобеспечения в условиях низких температур.

---

# Численное решение задач освоения Арктики

# Миграция айсбергов





# Миграция айсбергов в северных морях.

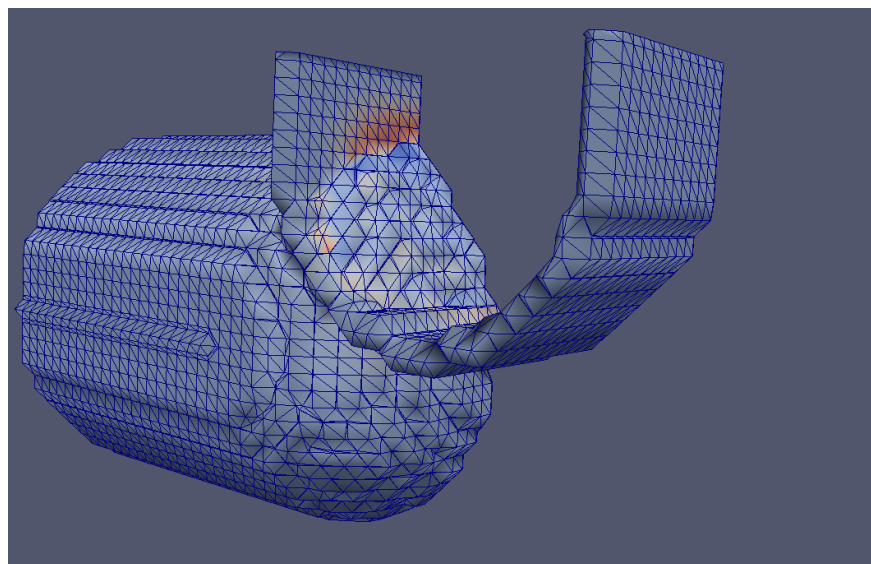
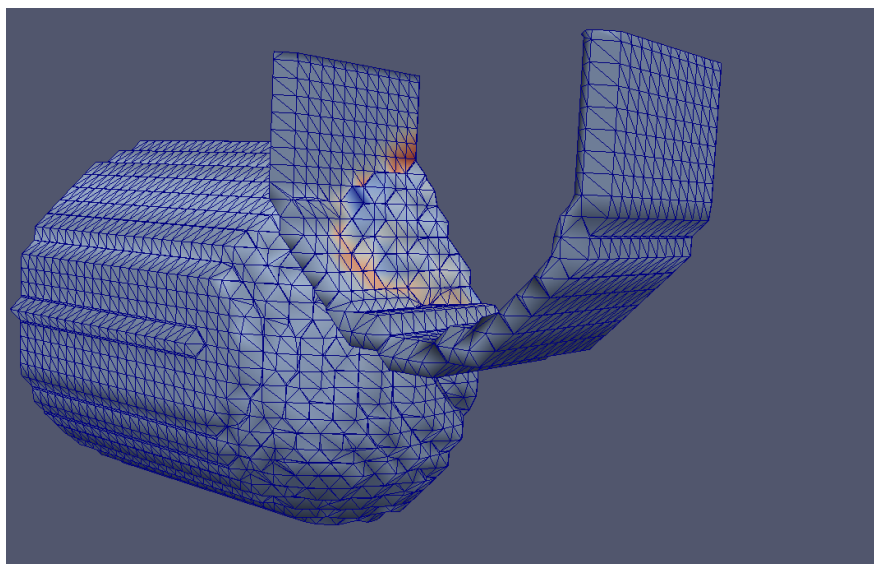
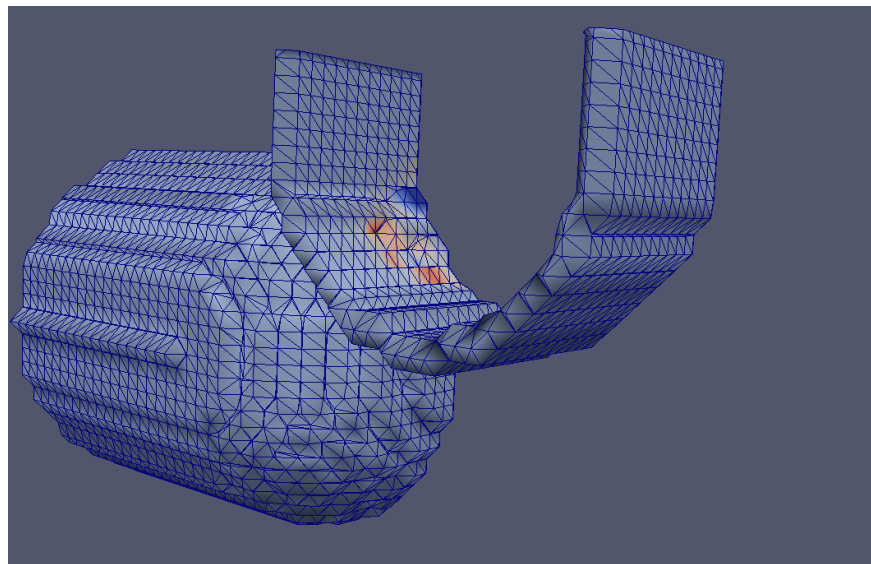
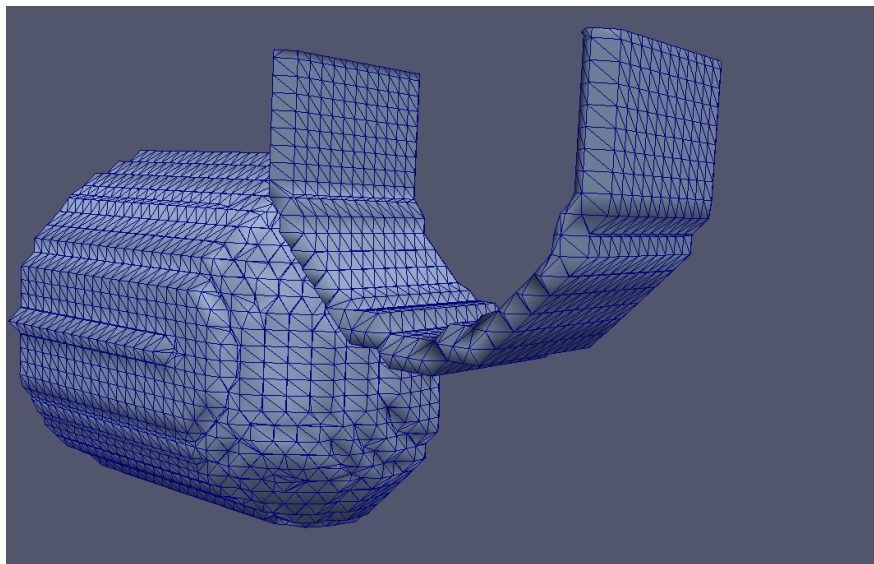
- Формулировка входных данных для расчета задачи о движении айсберга в северных морях.
  1. Исходная карта распределения айсбергов в Карском море или геометрические параметры ледника
  2. Упругие модули льда
  3. Прочностные характеристики льда
  4. Плотность льда
  5. Карты гидрометеорологических и ледовых условий по Карскому морю (течения, температуры воздуха, воды и т.д.)
  6. Геометрические размеры айсбергов Карского моря.
  7. Карта солнечной активности.
- Расчет движения айсбергов в северных морях.

# Фотография повреждений корабля

*R.E. Gagnon, J. Wang* Numerical simulations of a tanker collision with a bergy bit incorporating hydrodynamics, a validated ice model and damage to the vessel // Cold regions. Science and Technology, 2012.

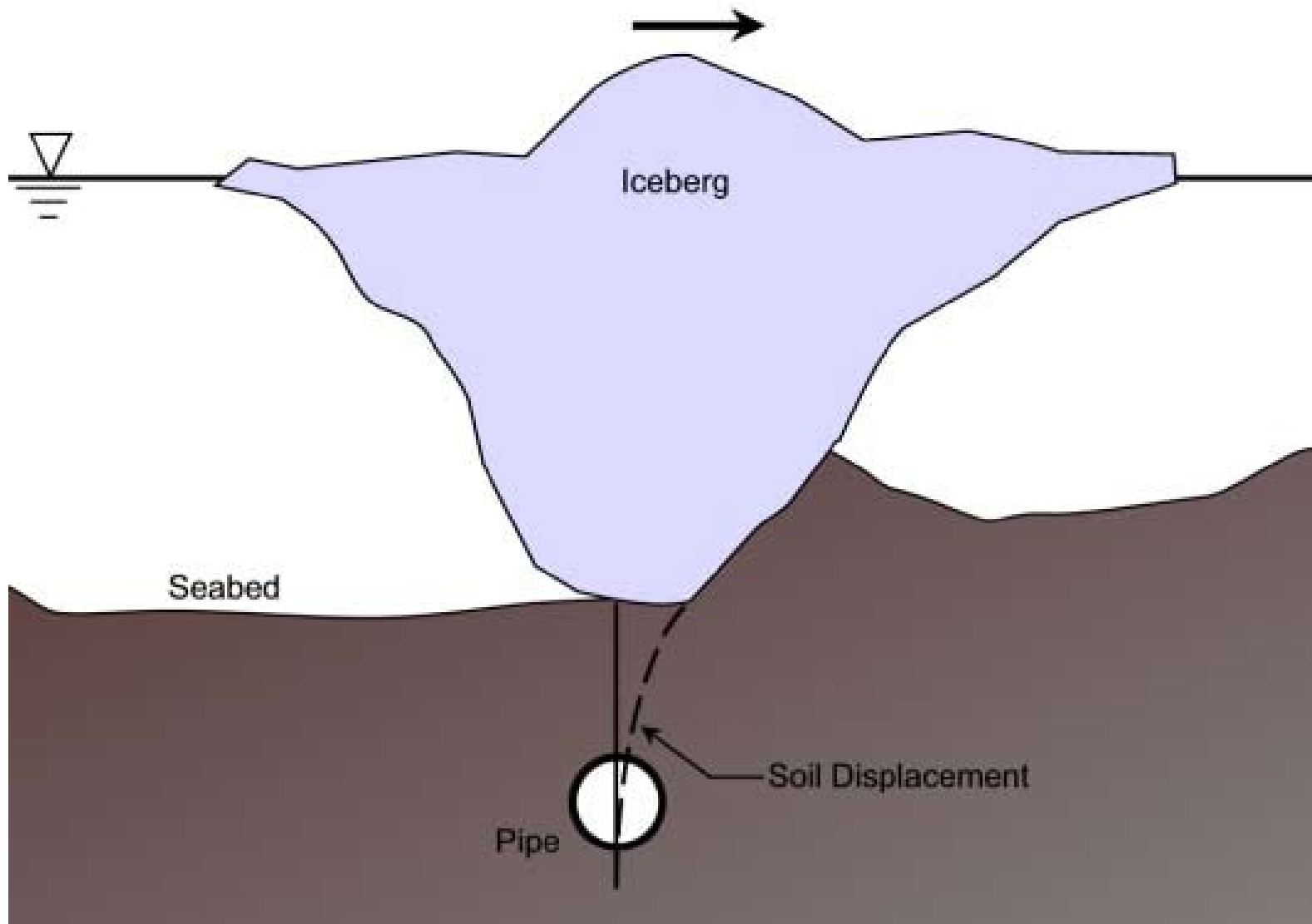


# Столкновение ледокола с торосом

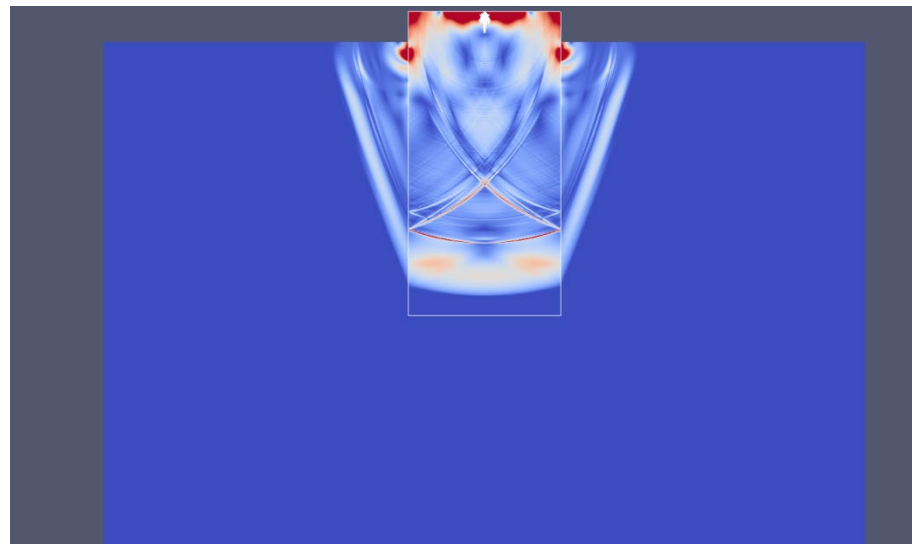
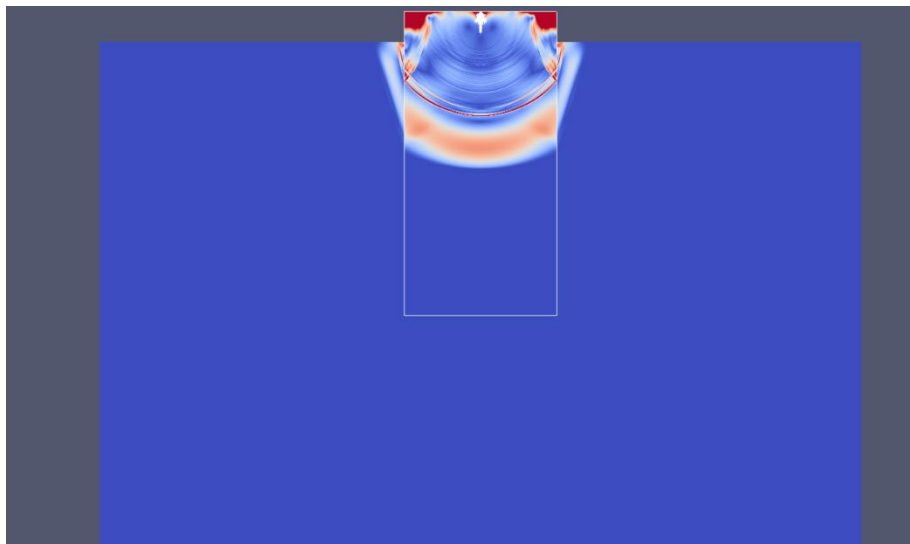




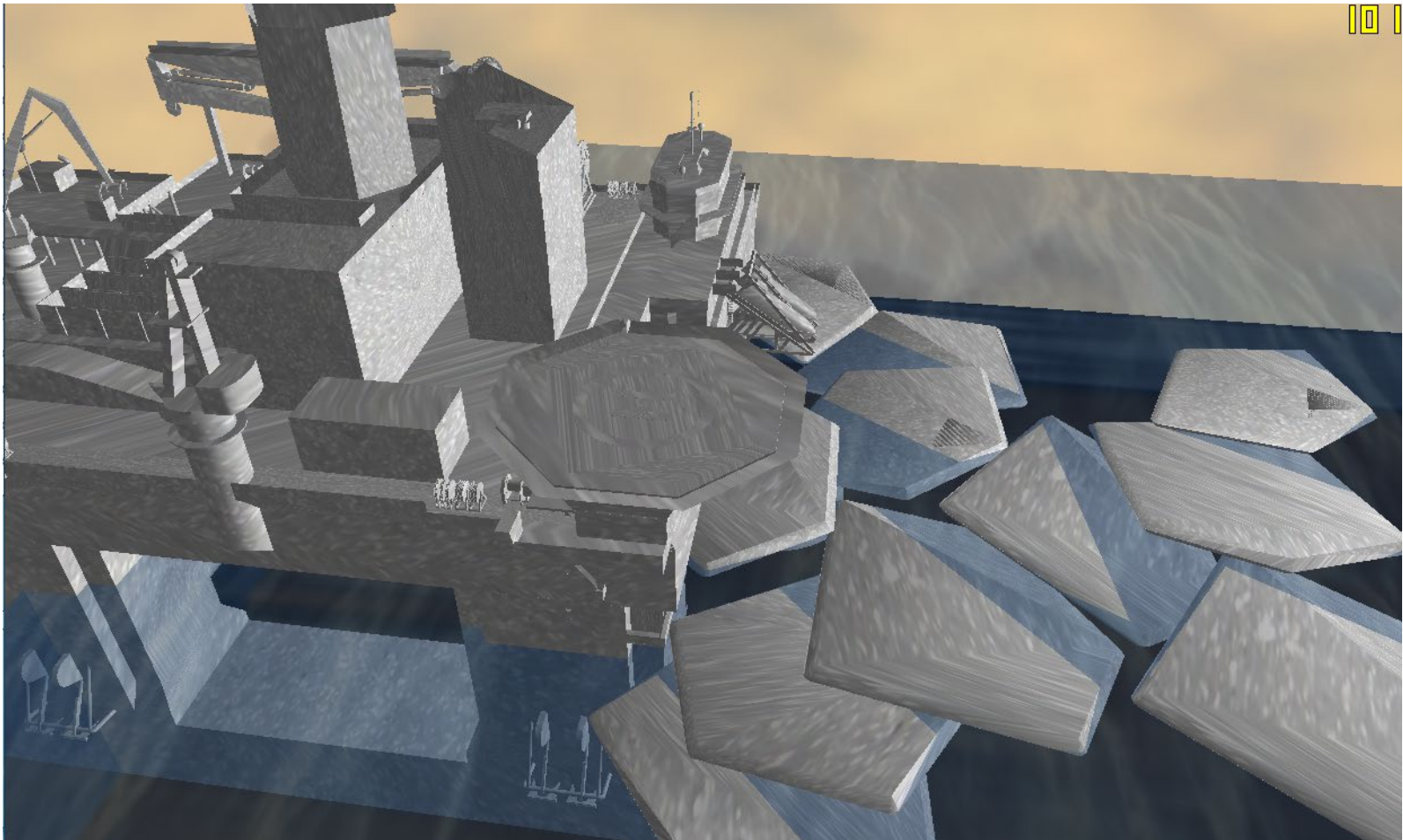
Задача несколько сложнее, так как труба под слоем грунта: 1) киль деформирует грунт и передает деформацию через грунт (не доставая трубы); 2) киль деформирует грунт, затем задевает трубу;



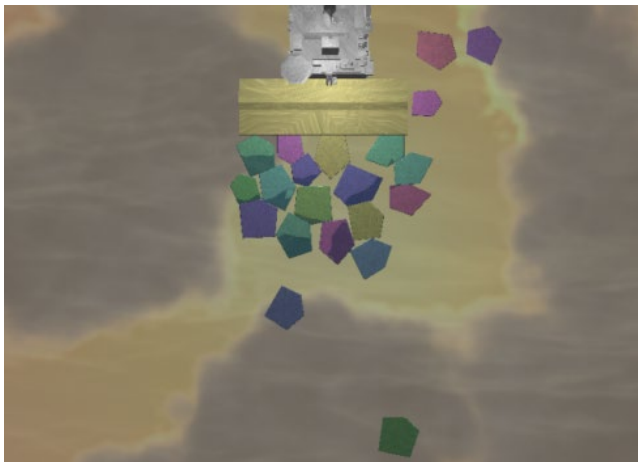
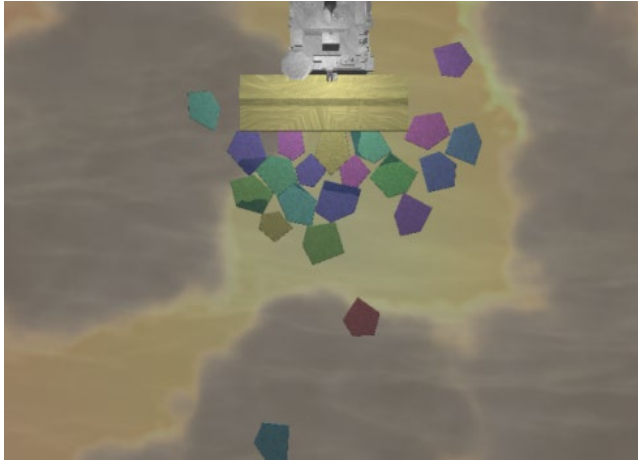
# Разрушение айсберга под интенсивными динамическими воздействиями.



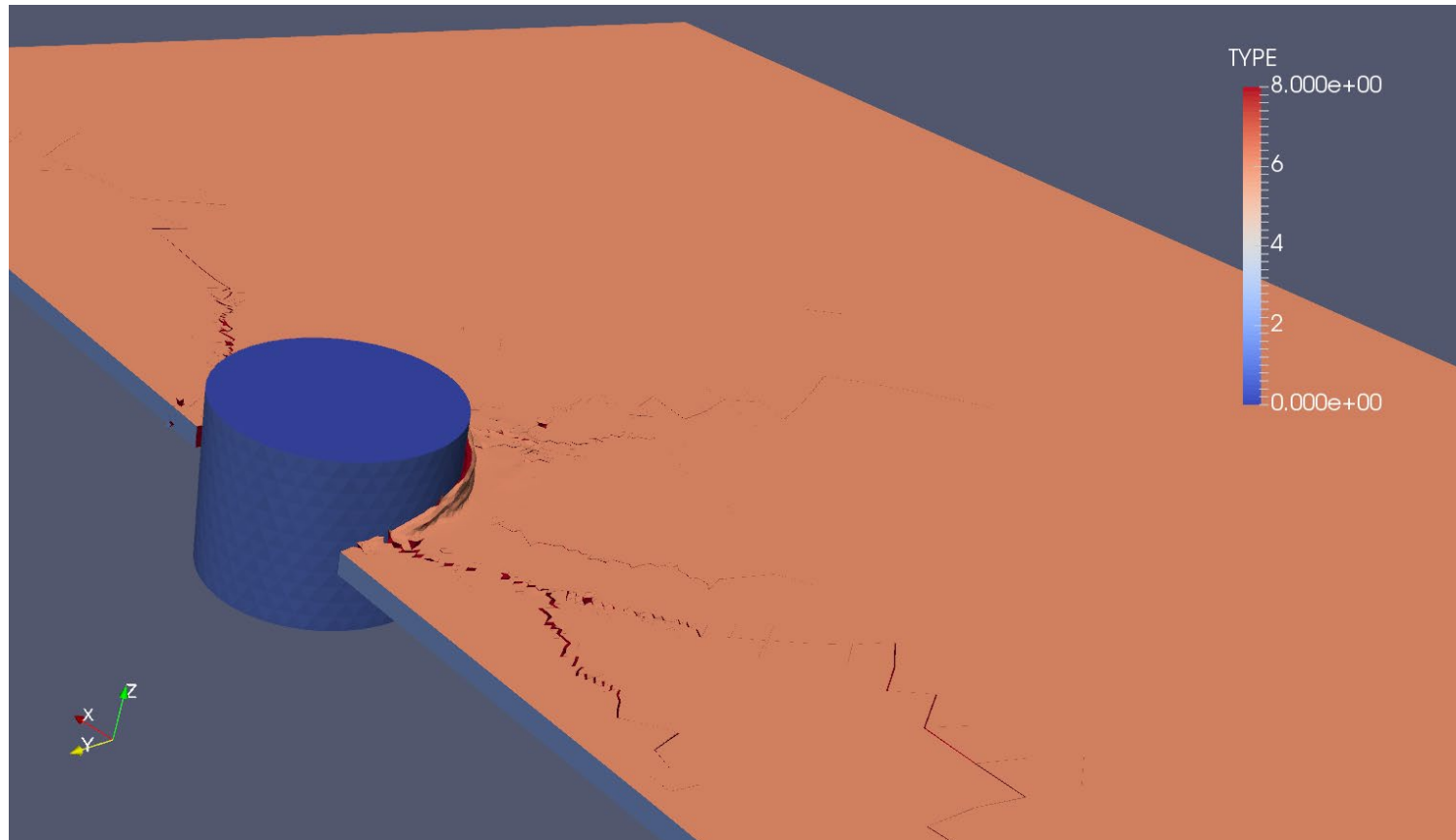
# Торосы и нефтедобывающая платформа



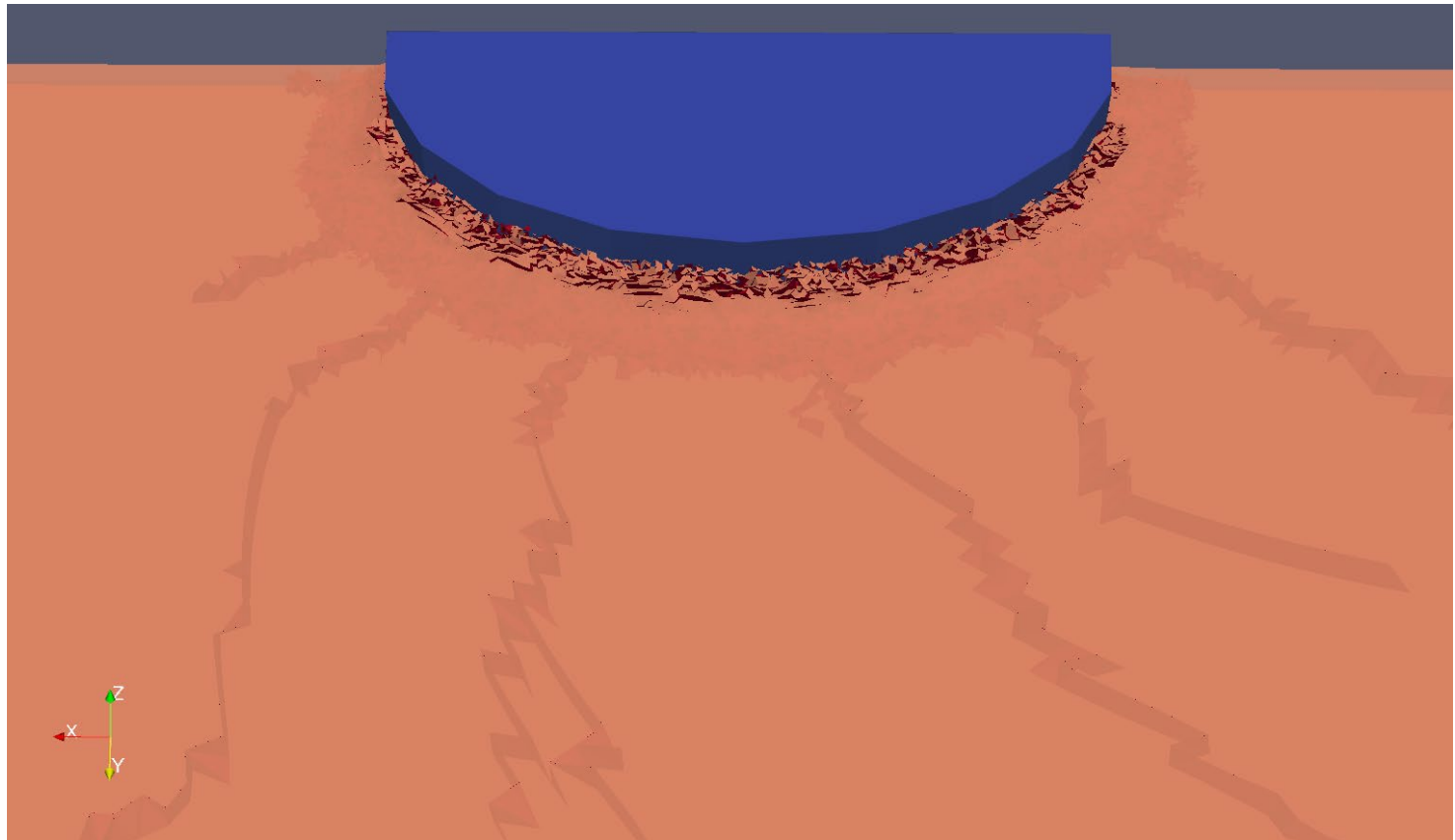
# Торосы и нефтедобывающая платформа



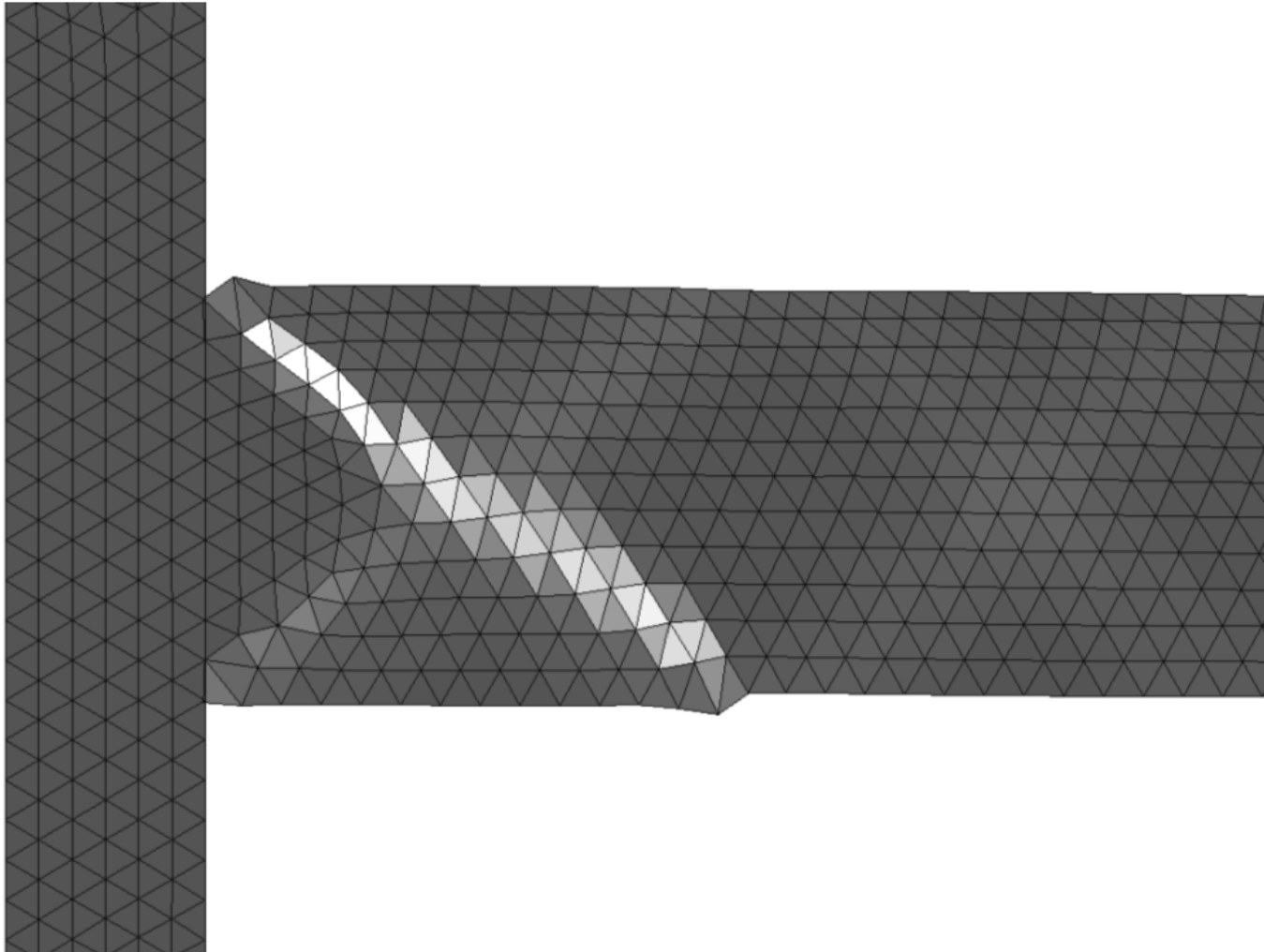
# Прорезание стойки платформы ледяным полем



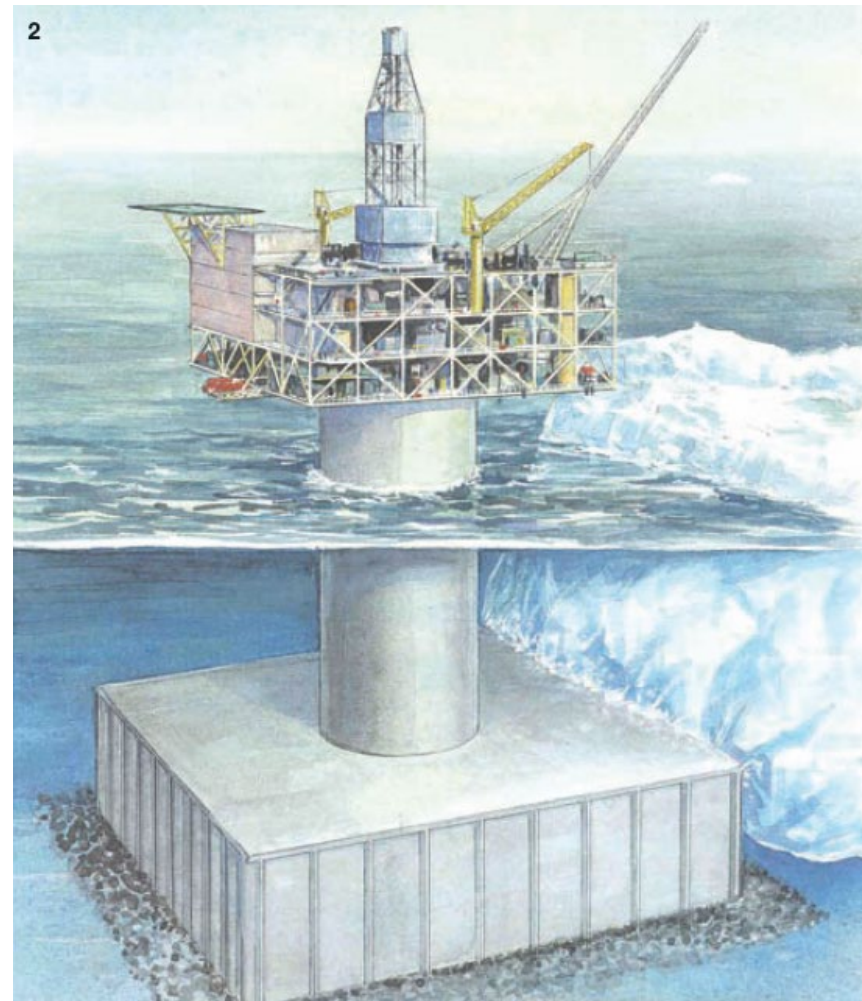
# Прорезание стойки платформы ледяным полем



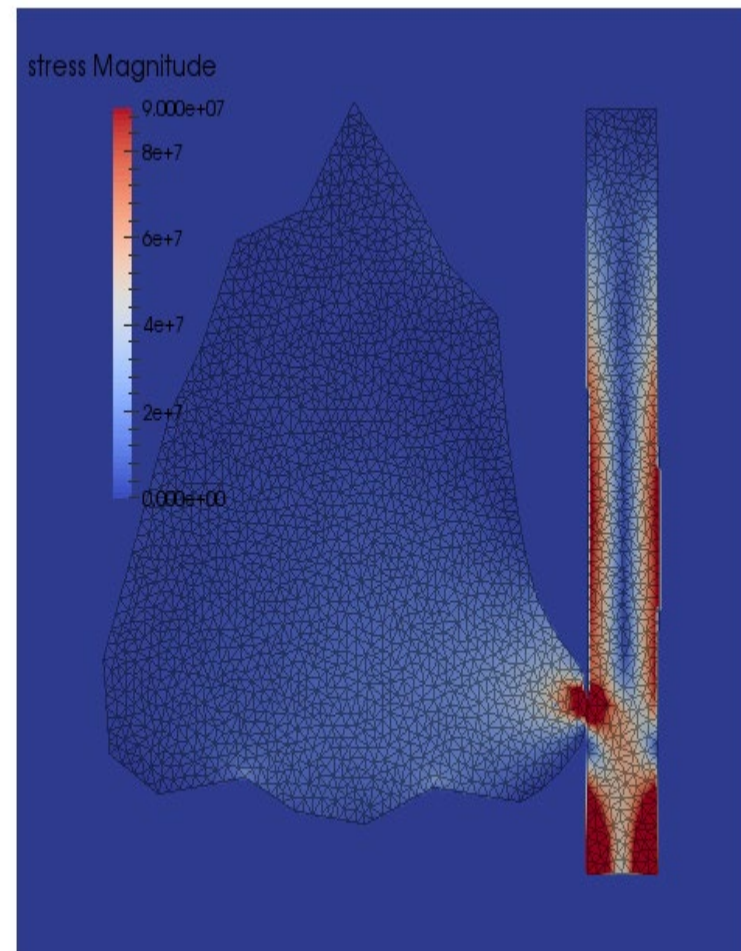
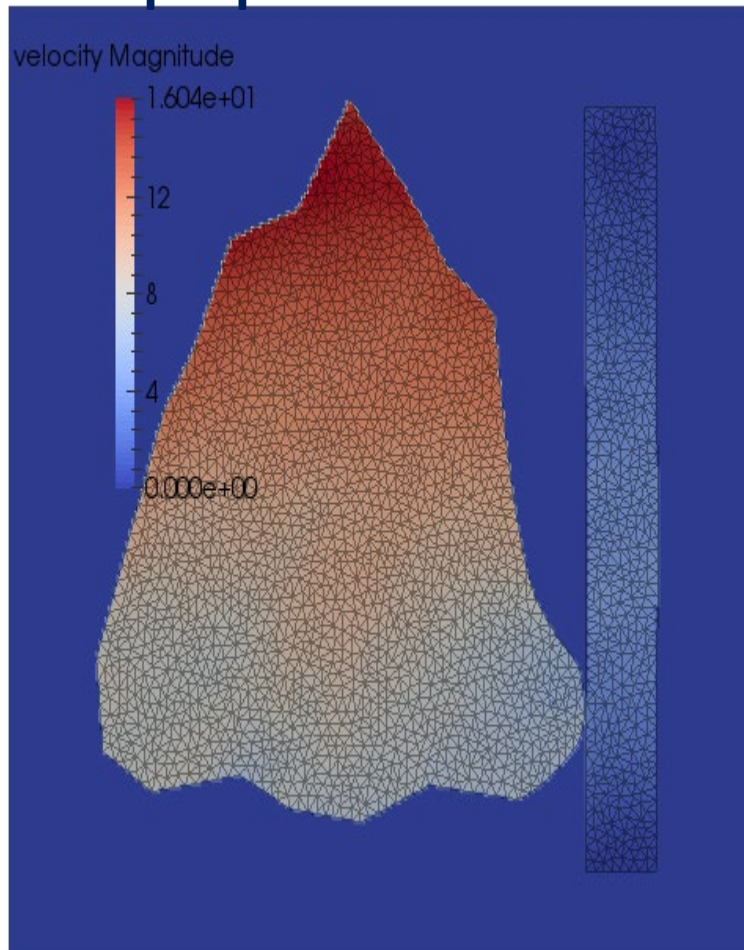
# Iceberg collision with the stand of a fixed oil-extracting platform: plastic deformation value

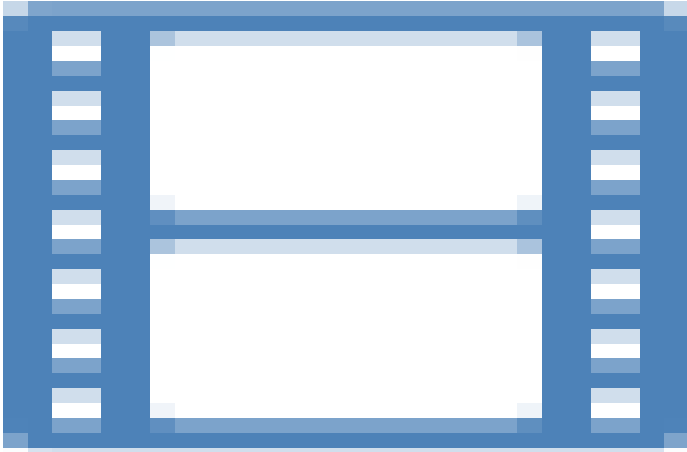


# Столкновение айсберга со стационарной нефтедобывающей платформой

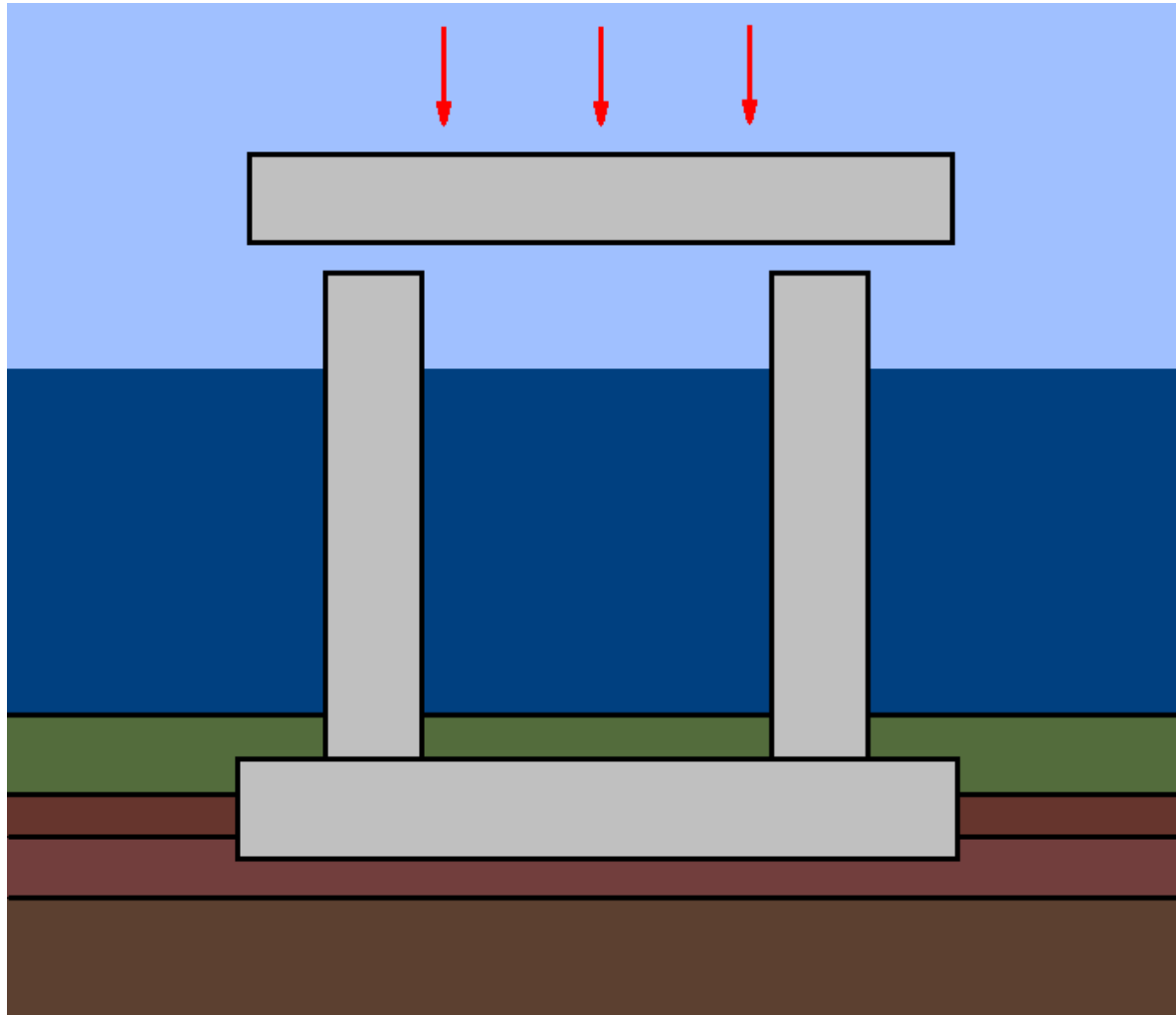


# Столкновение айсберга со стойкой стационарной нефтедобывающей платформы





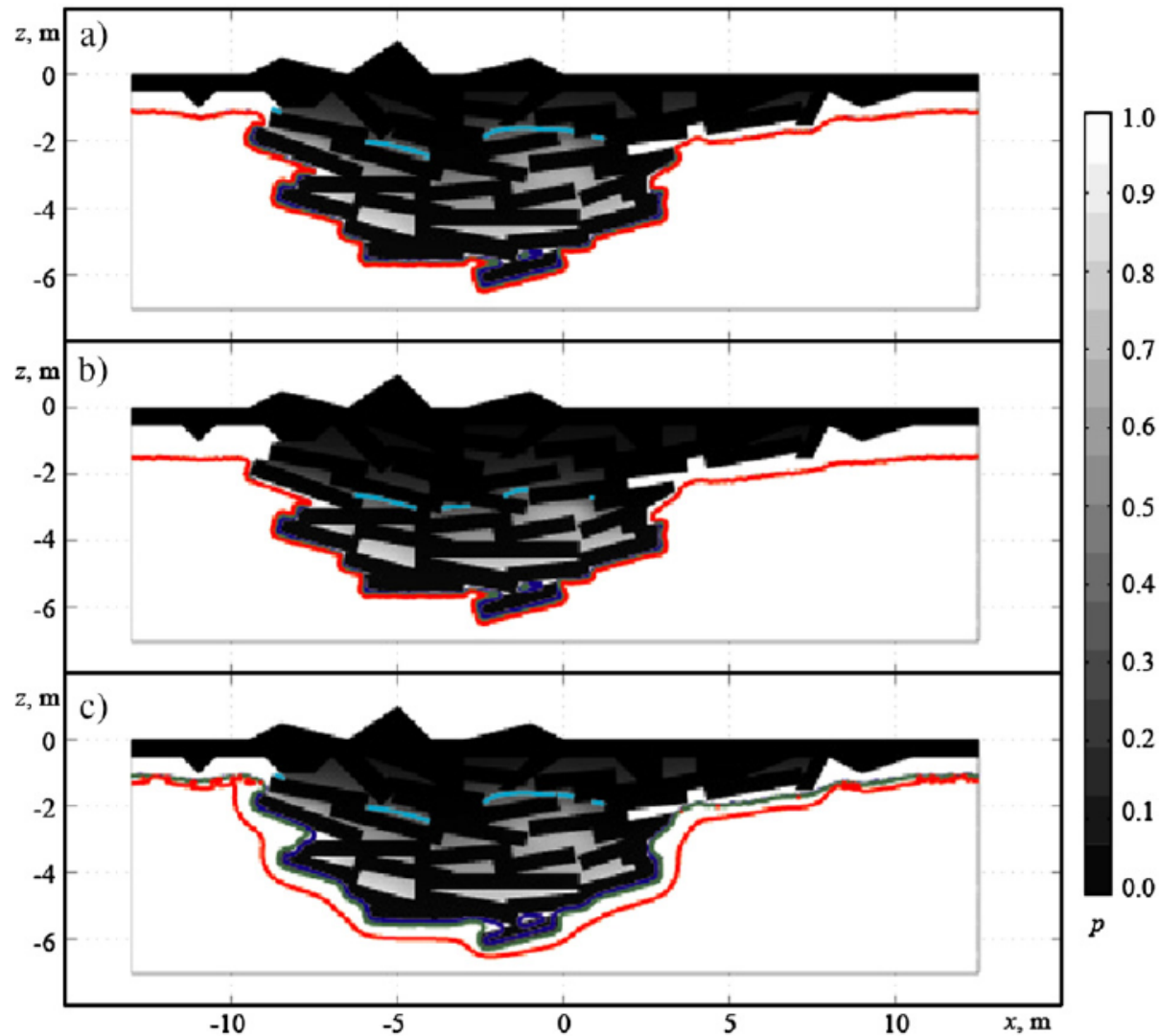
The calculation of the stress-strain state of the props of oil-extracting platform in a heterogeneous ground during installing this platform



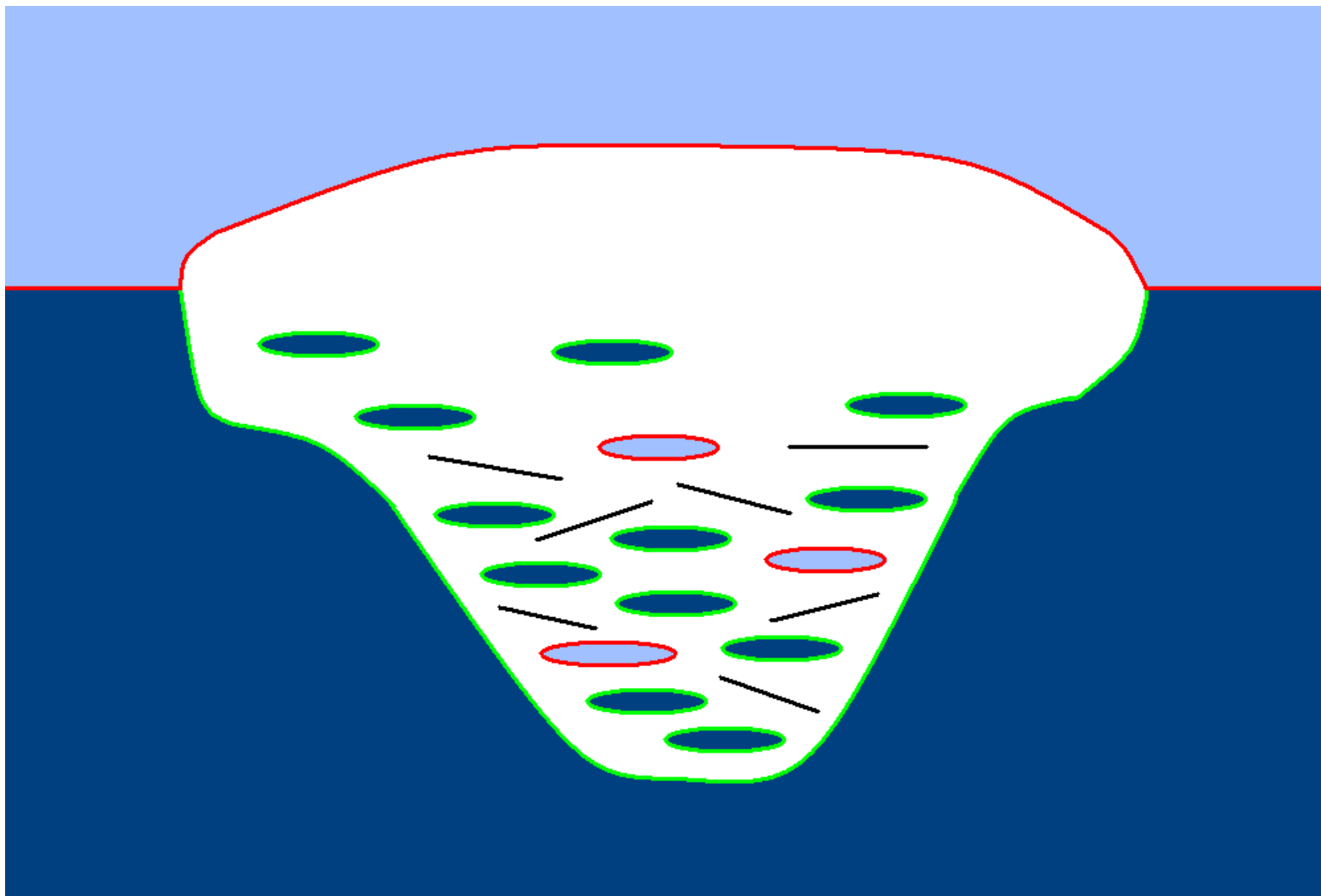


# Строение торосов

A. Marchenko Thermodynamic consolidation and melting of sea ice ridges  
// Cold regions. Science and Technology, V. 52, N. 3, 2008.



Ледяное тело заданной формы с заданным распределением водонасыщенных и газонасыщенных полостей и трещин





---

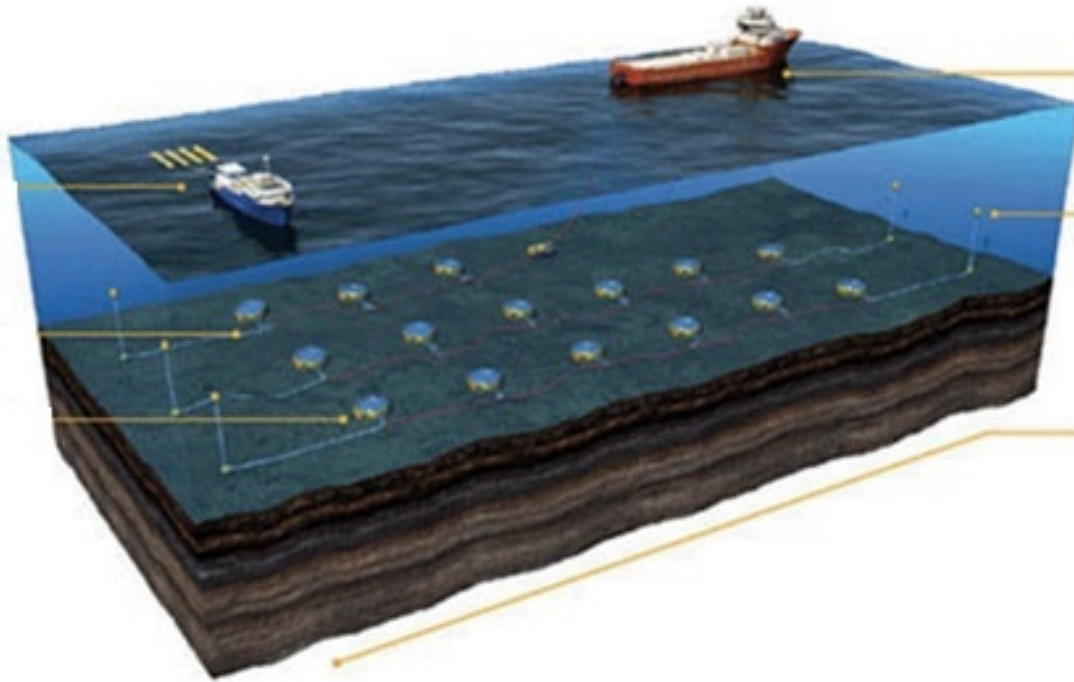
**Решение задач  
сейсморазведки, в том  
числе морской, а также  
в условиях Арктики**

# Сейсморазведка - стример



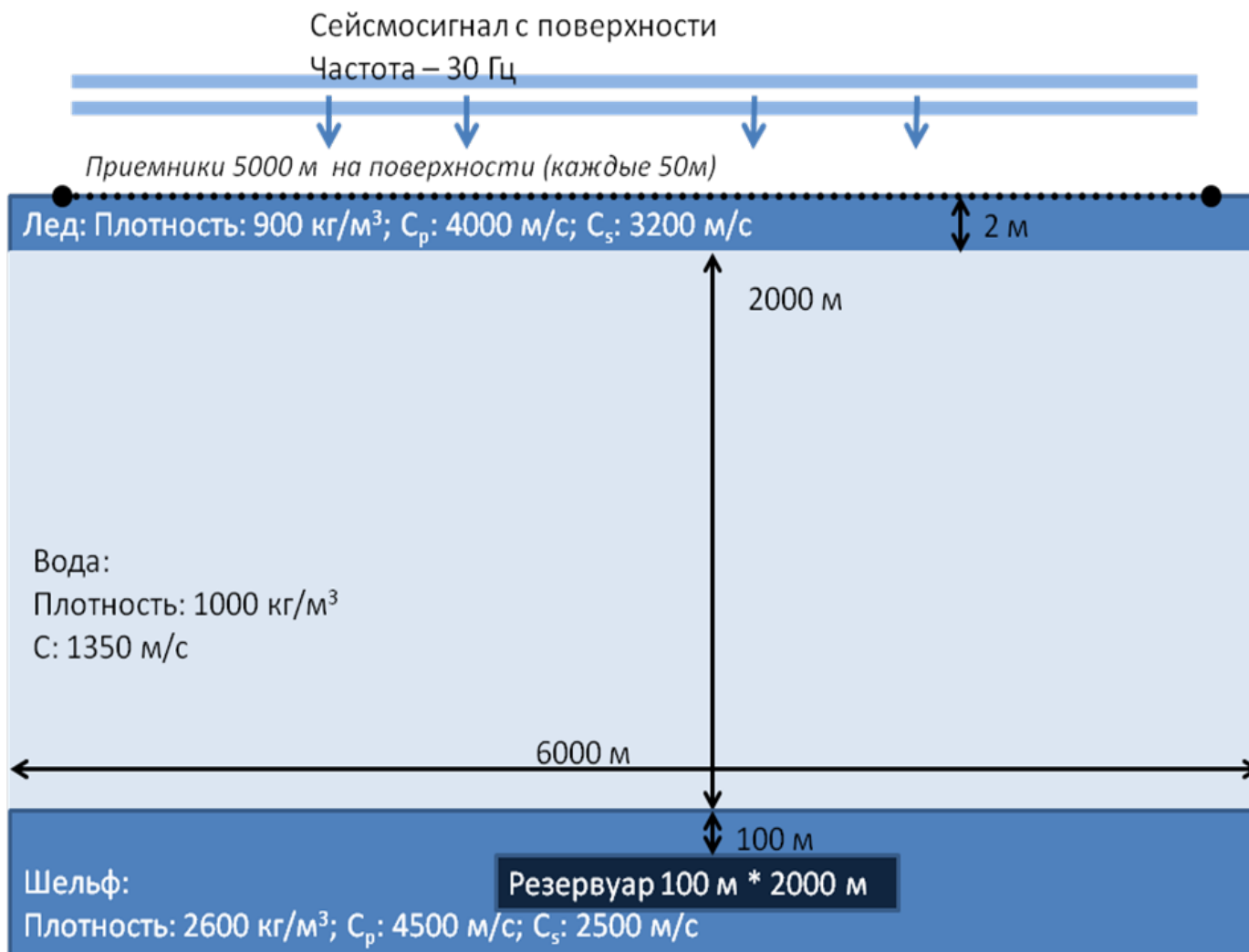
- 3D
- Р-волны
- Высокая  
производительность

# Сейсмика – донные станции

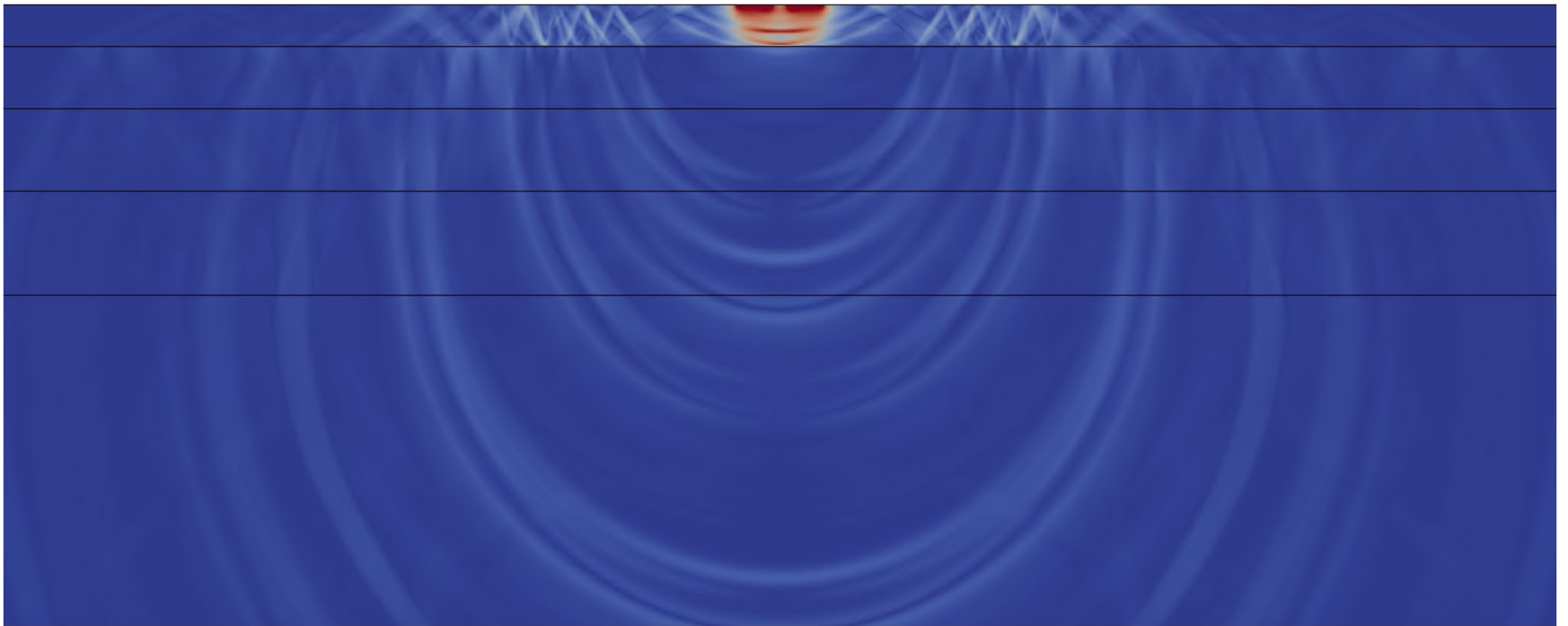


- 3D/4C
- Высокая стоимость
- Высокая информативность данных

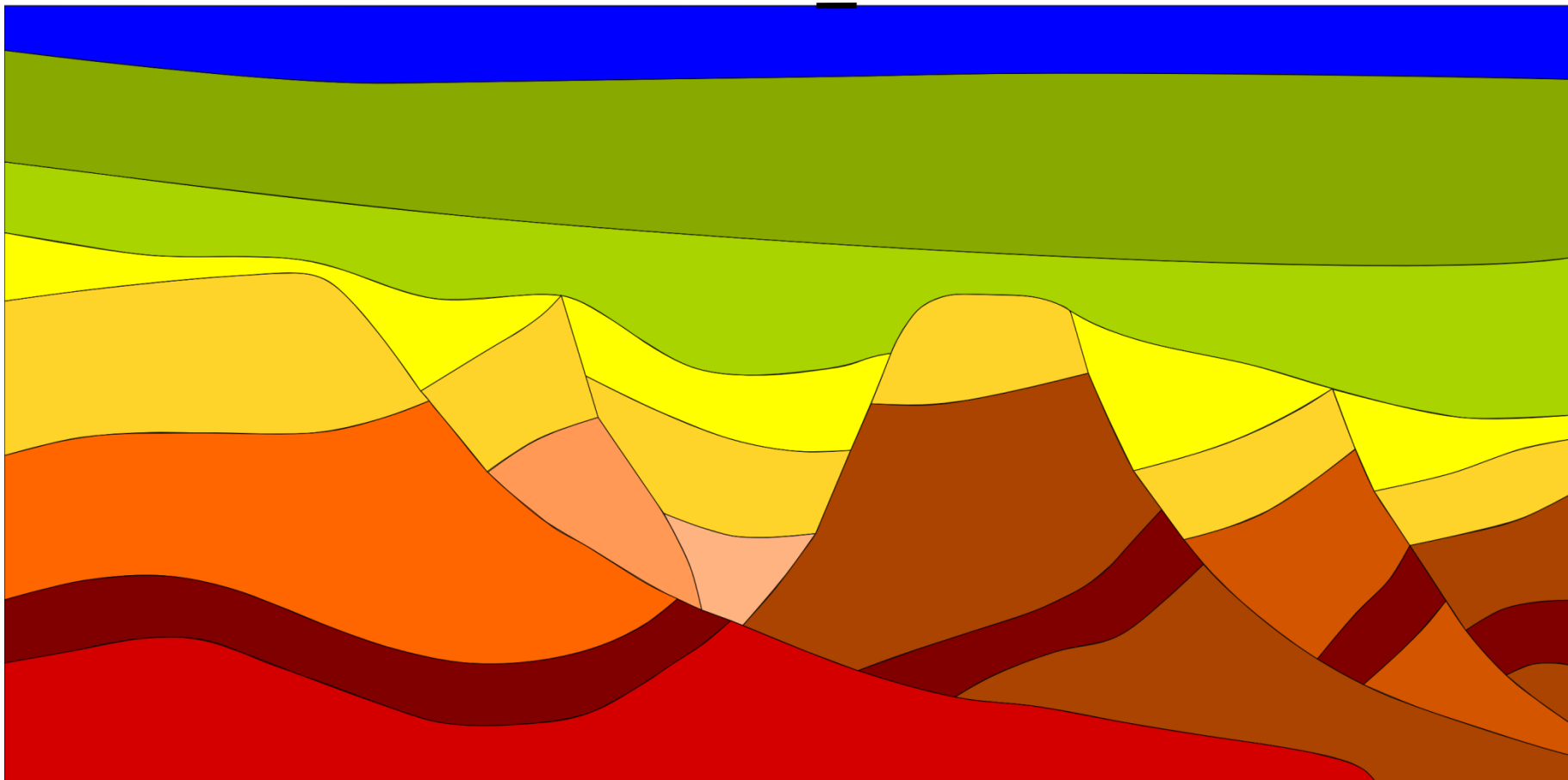
# Численное моделирование в задачах сейсморазведки Арктического шельфа



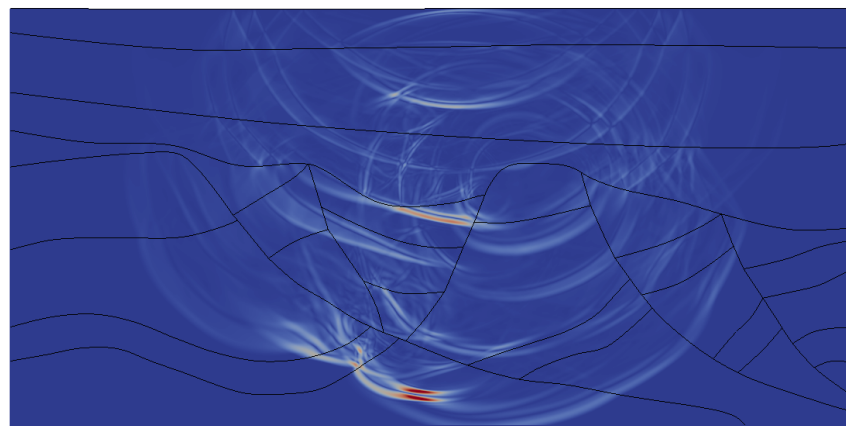
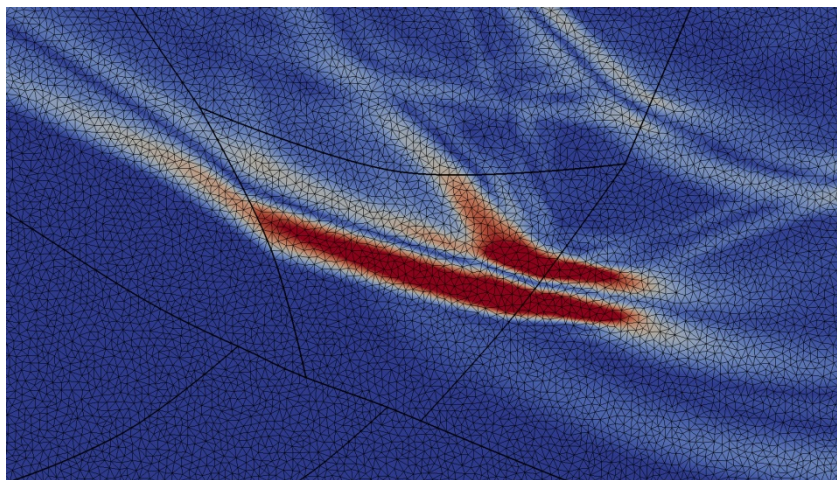
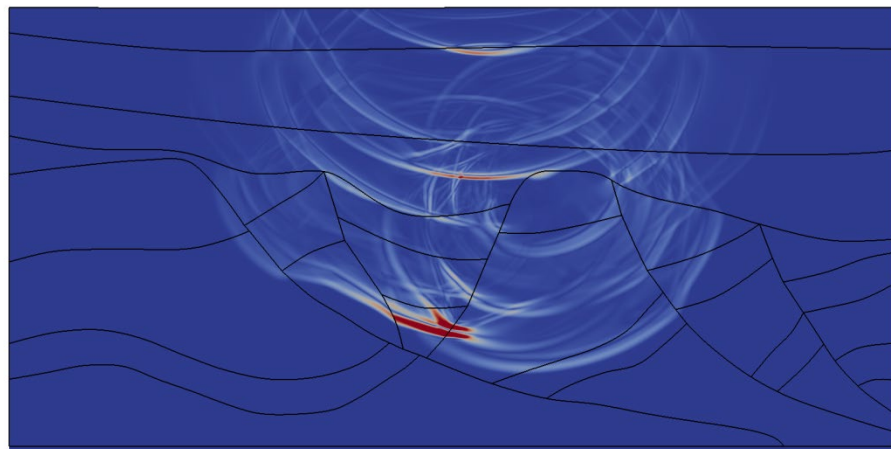
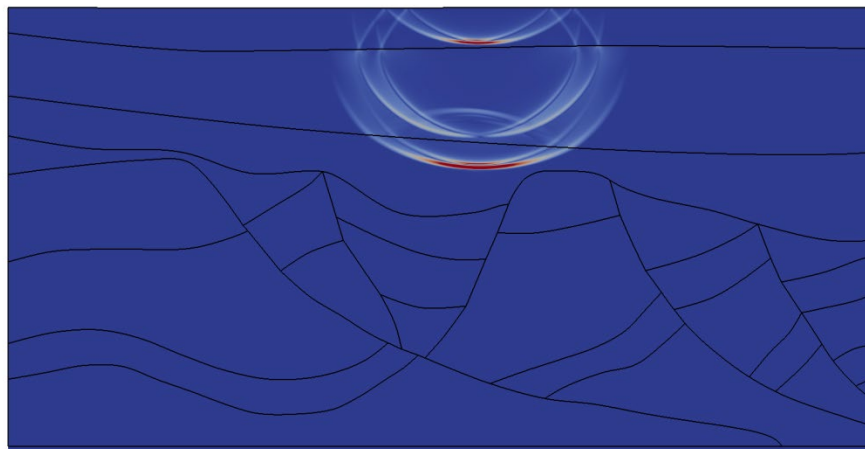
# Многослойная порода



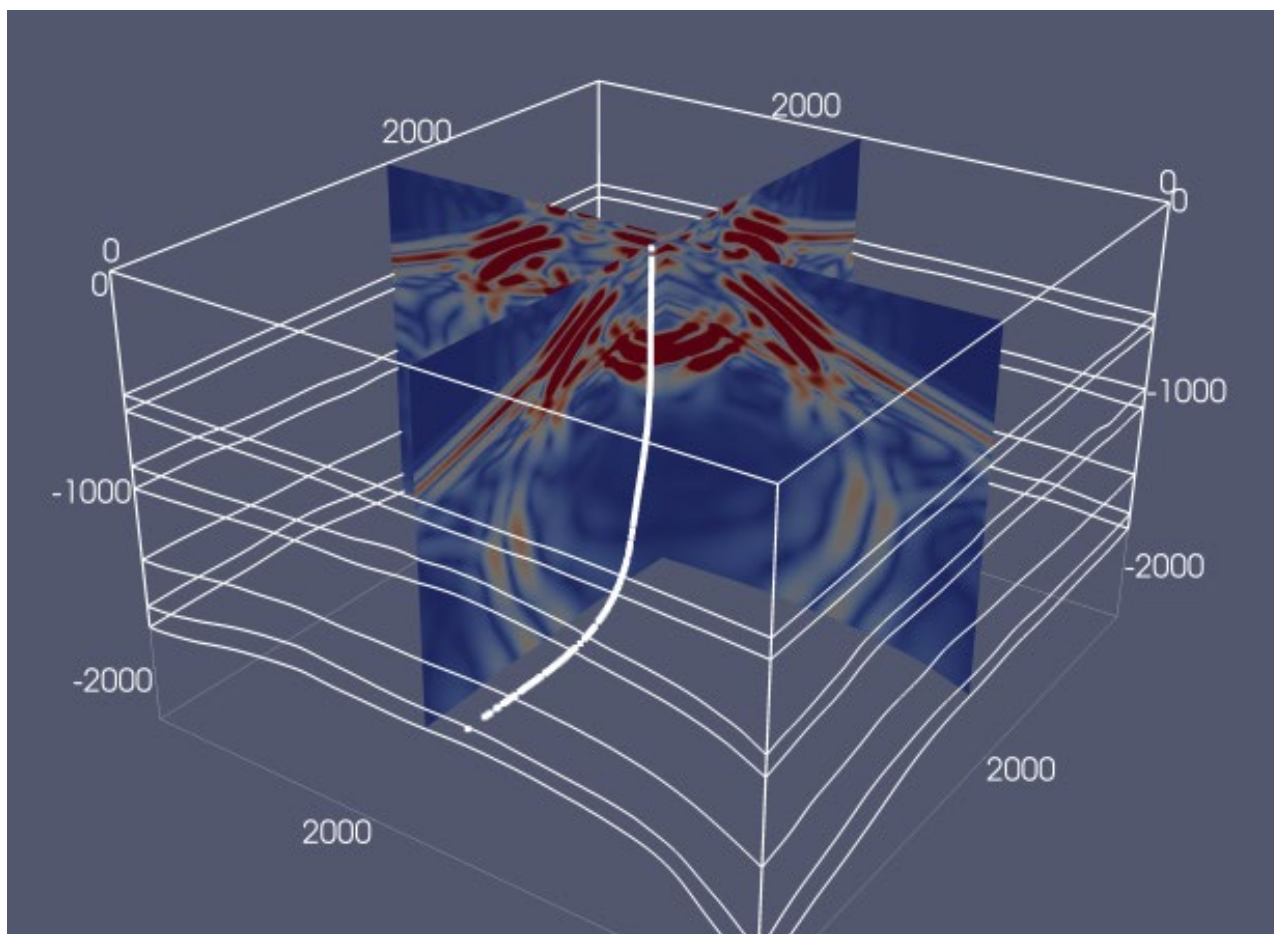
# Геология со сложными границами



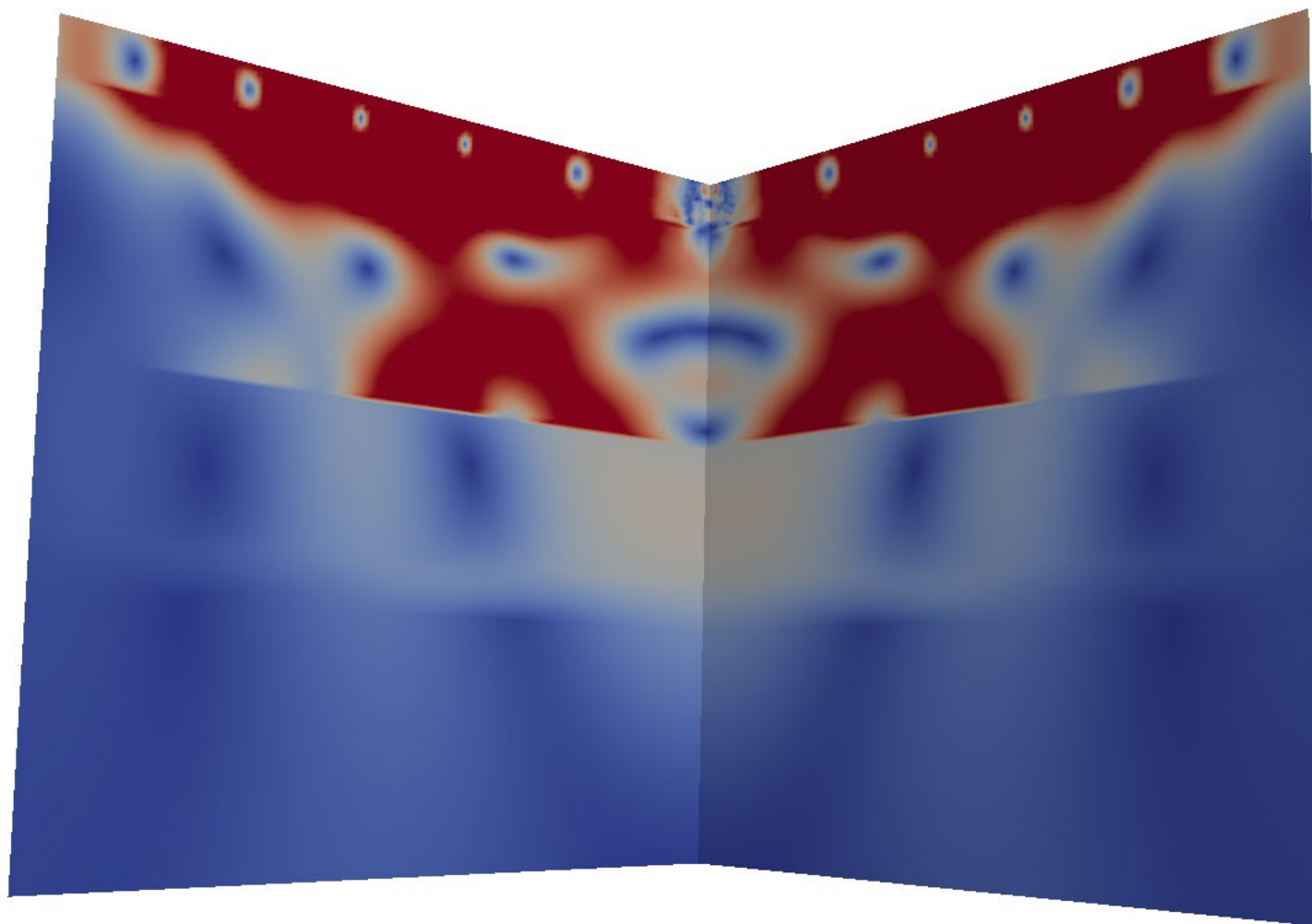
# Геология со сложными границами



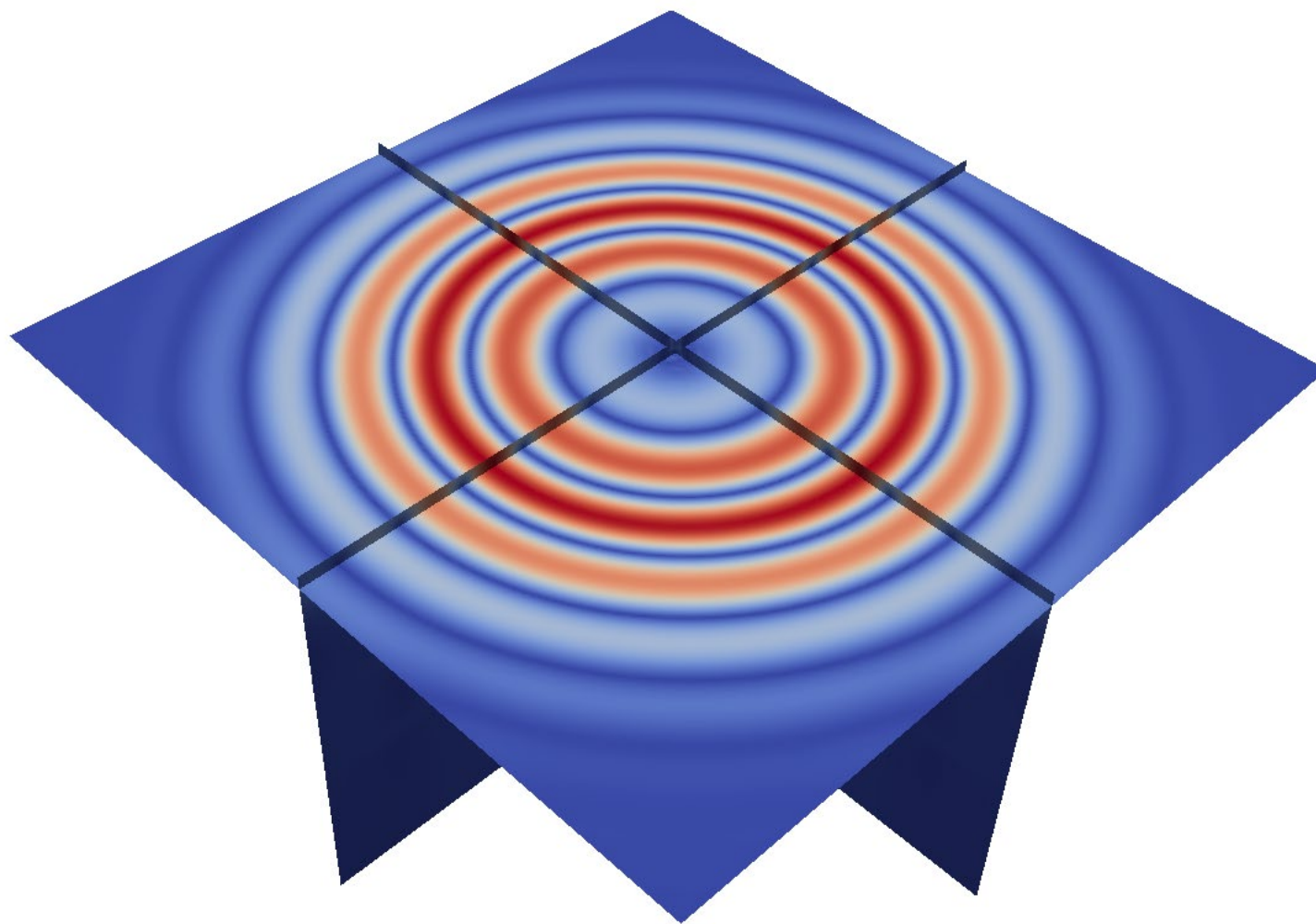
# Волновое поле в гетерогенной модели



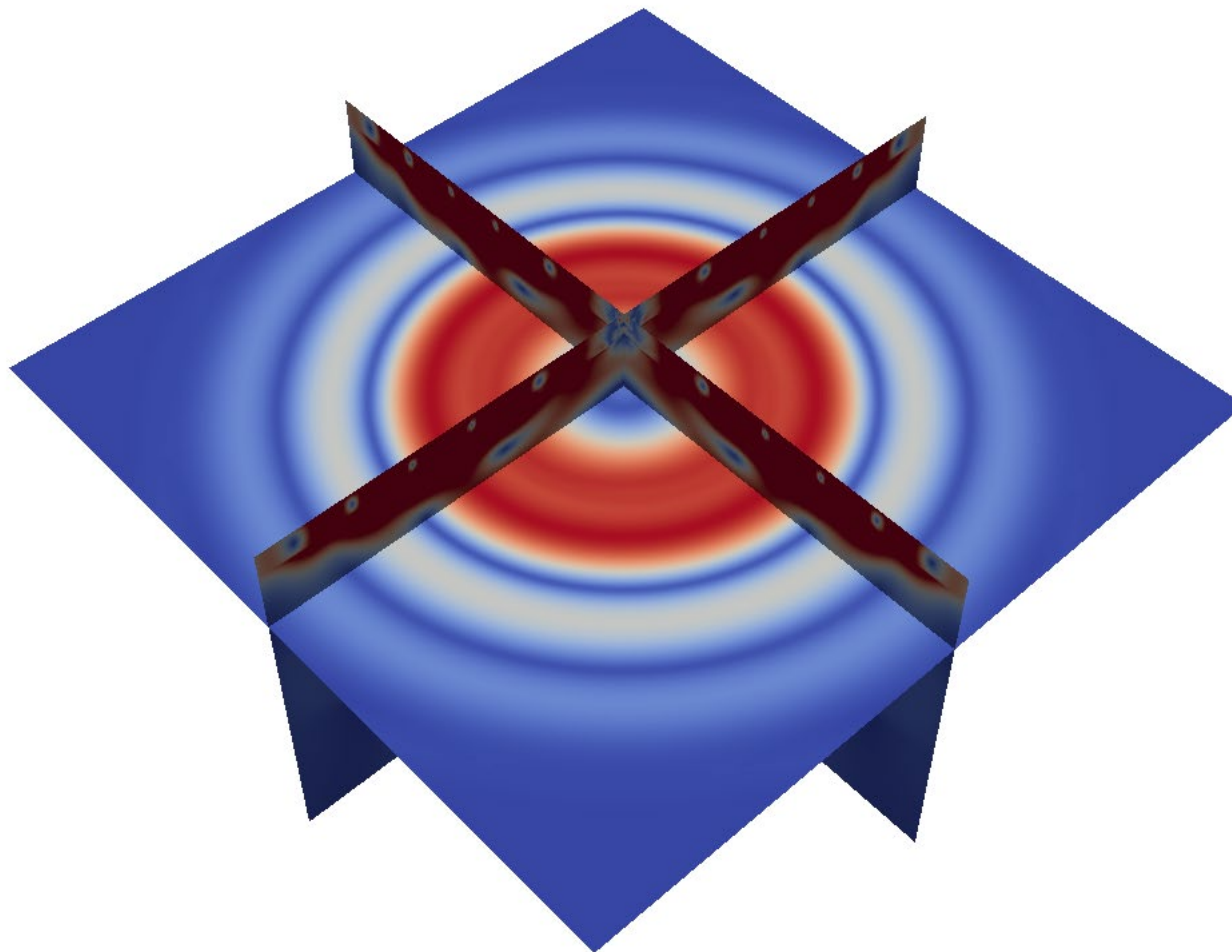
# Сейсмическая разведка Арктического шельфа



# Волновая картина в слое льда



# Волновая картина в слое воды



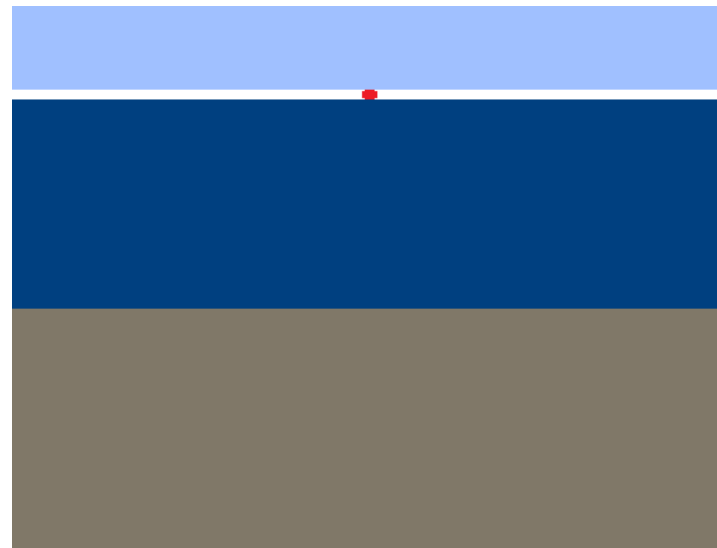
# Постановки задач



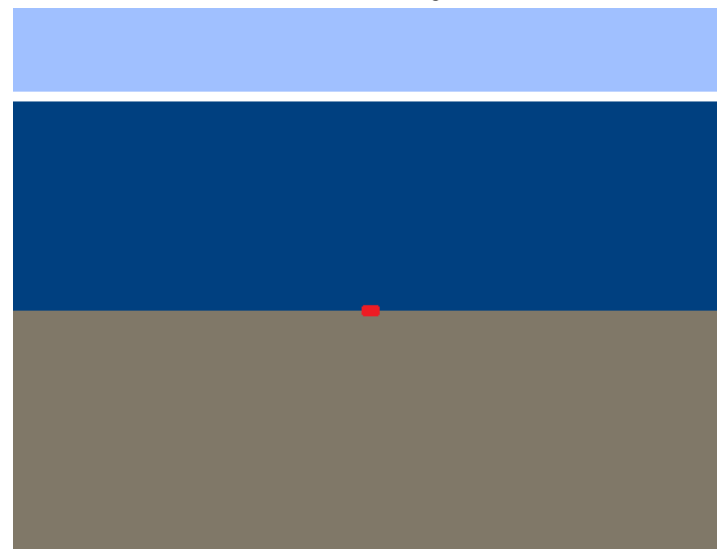
Источник во льду



Источник на дне

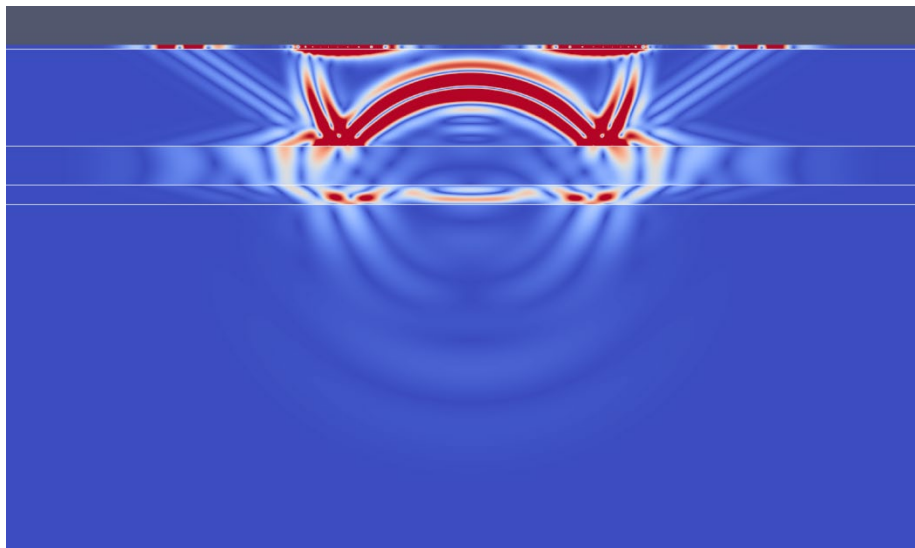


Источник во льду, без

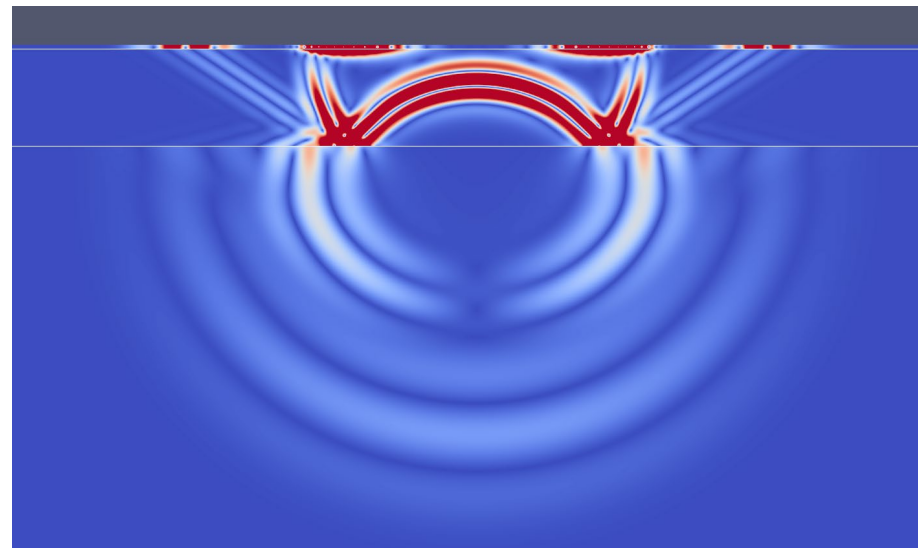


Источник на дне, без

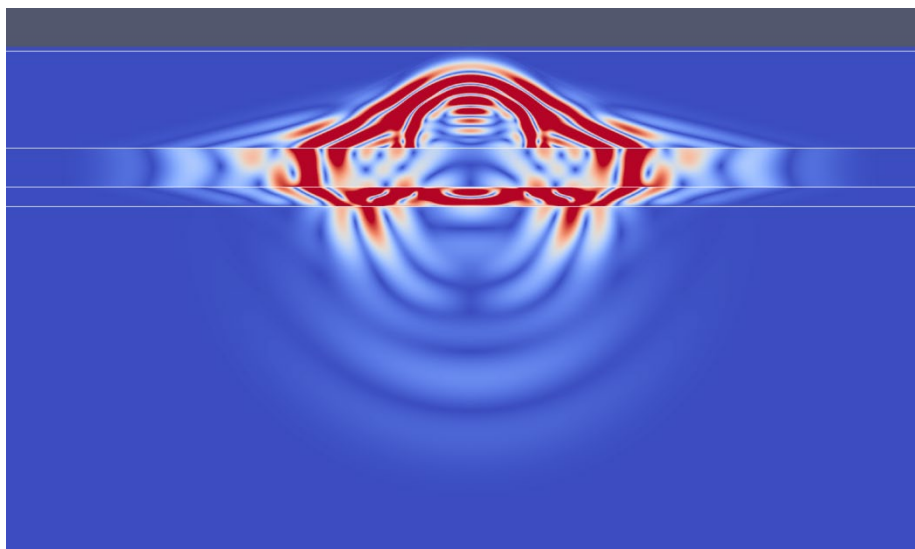
# Волновые картины



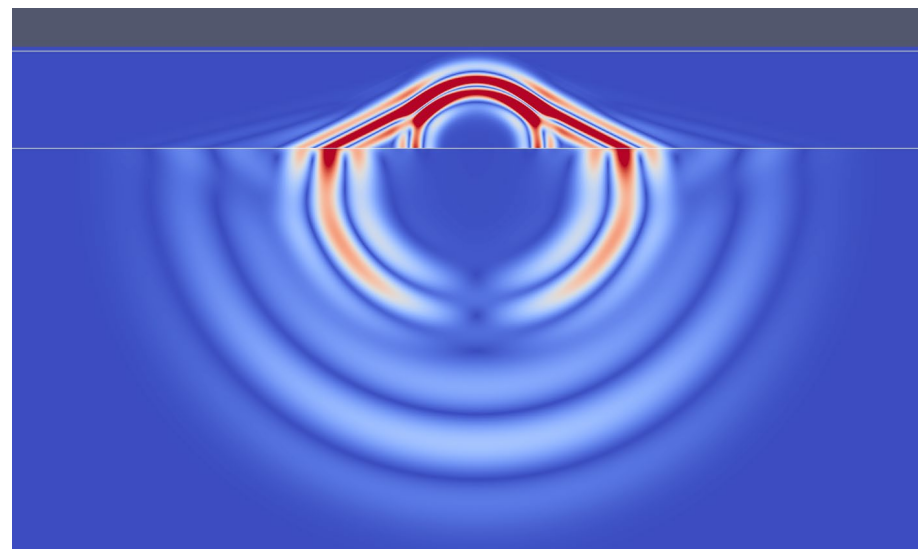
Источник во льду, 0.135 сек.



Источник во льду, без резервуара, 0.135

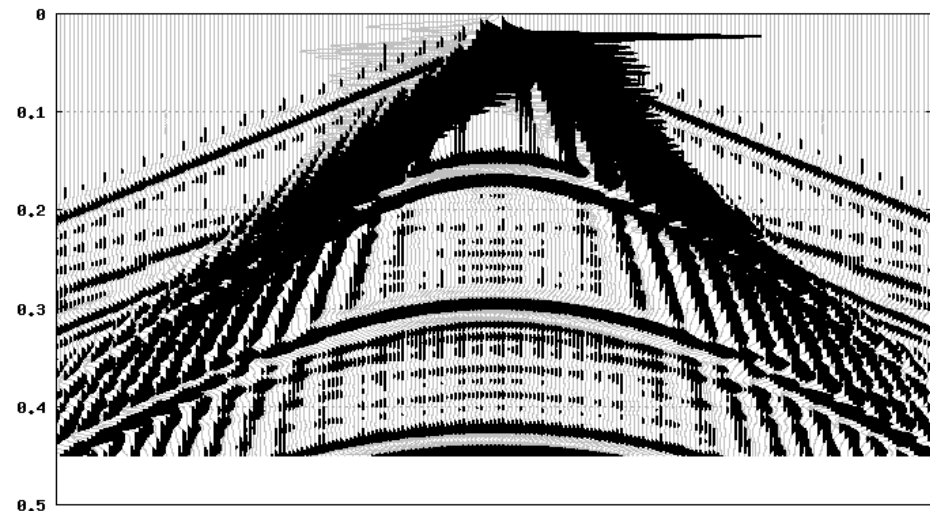


Источник на дне, 0.0675 сек.

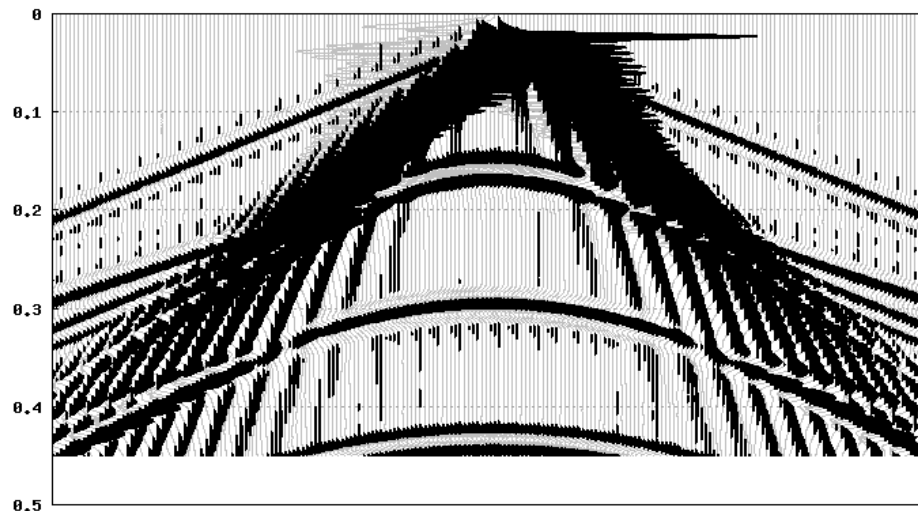


Источник в воде, без резервуара, 0.0675

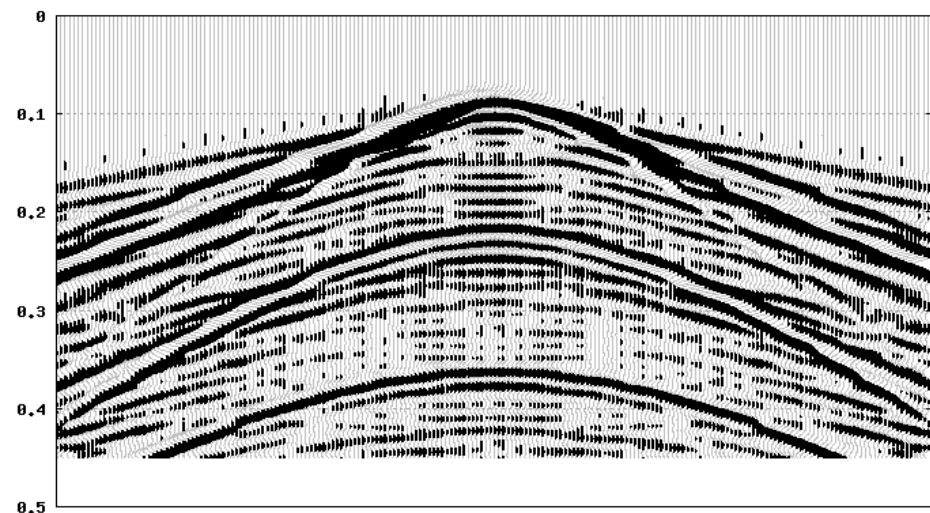
# Сейсмограммы, лед, $V_y$



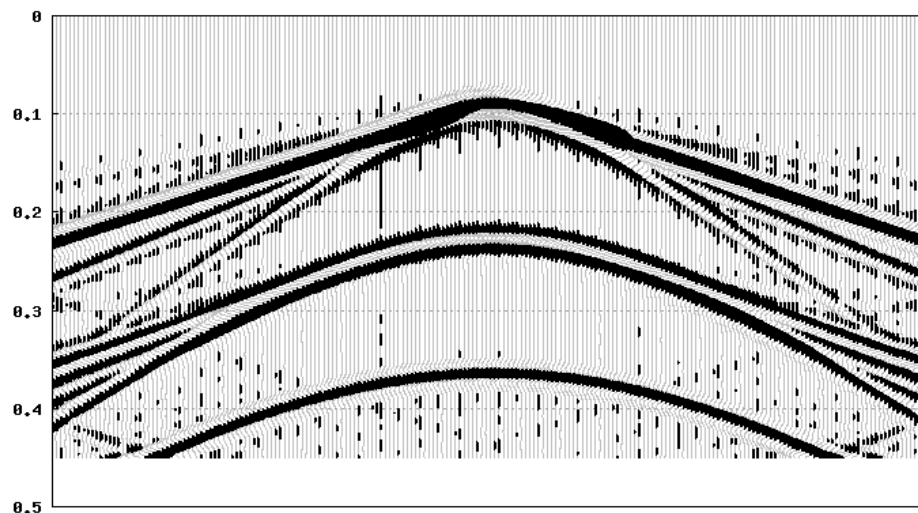
Источник во льду



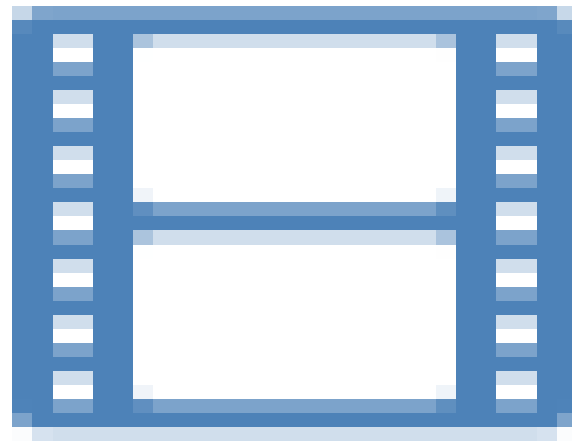
Источник во льду, без



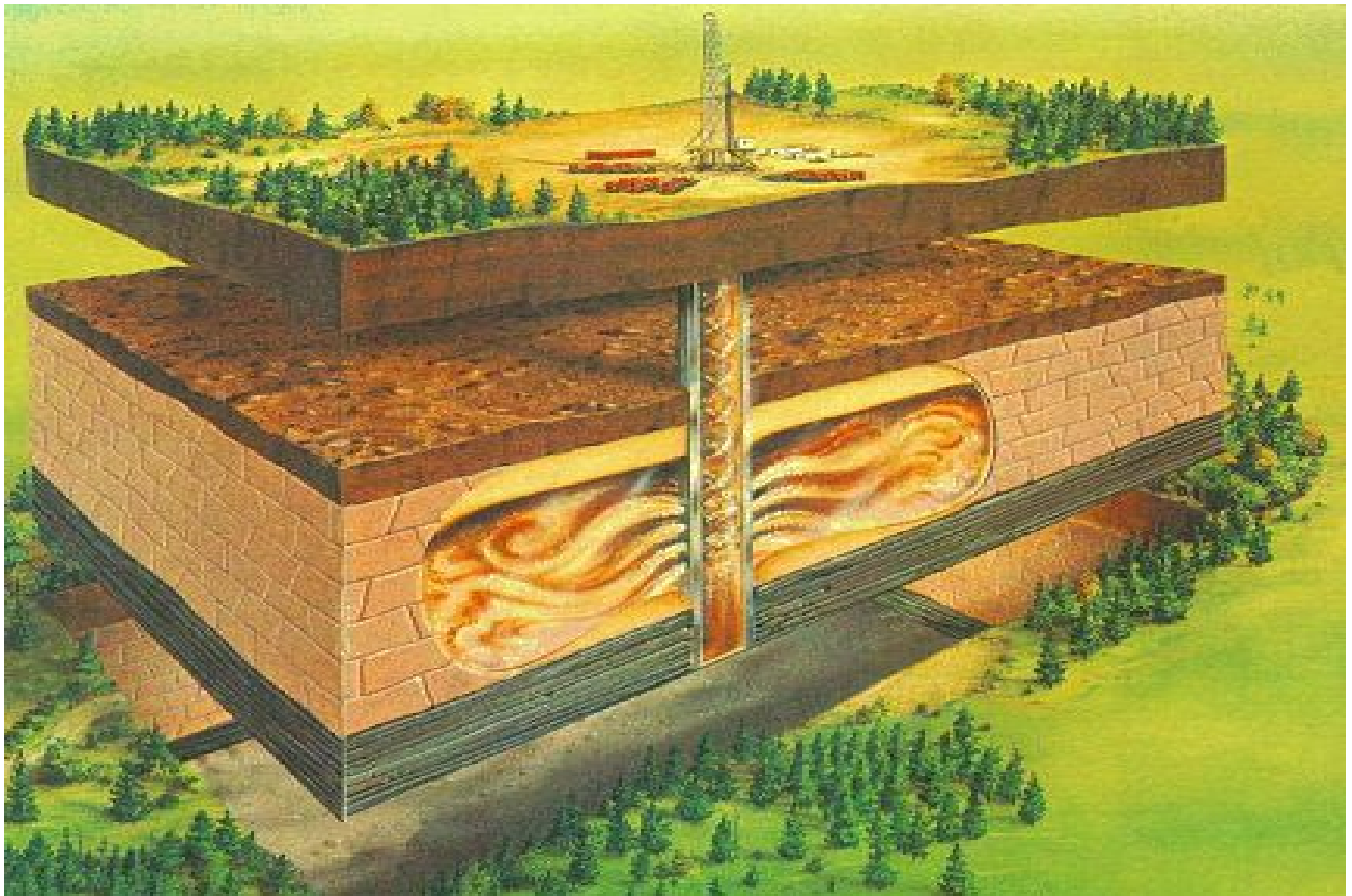
Источник на дне



Источник на дне, без

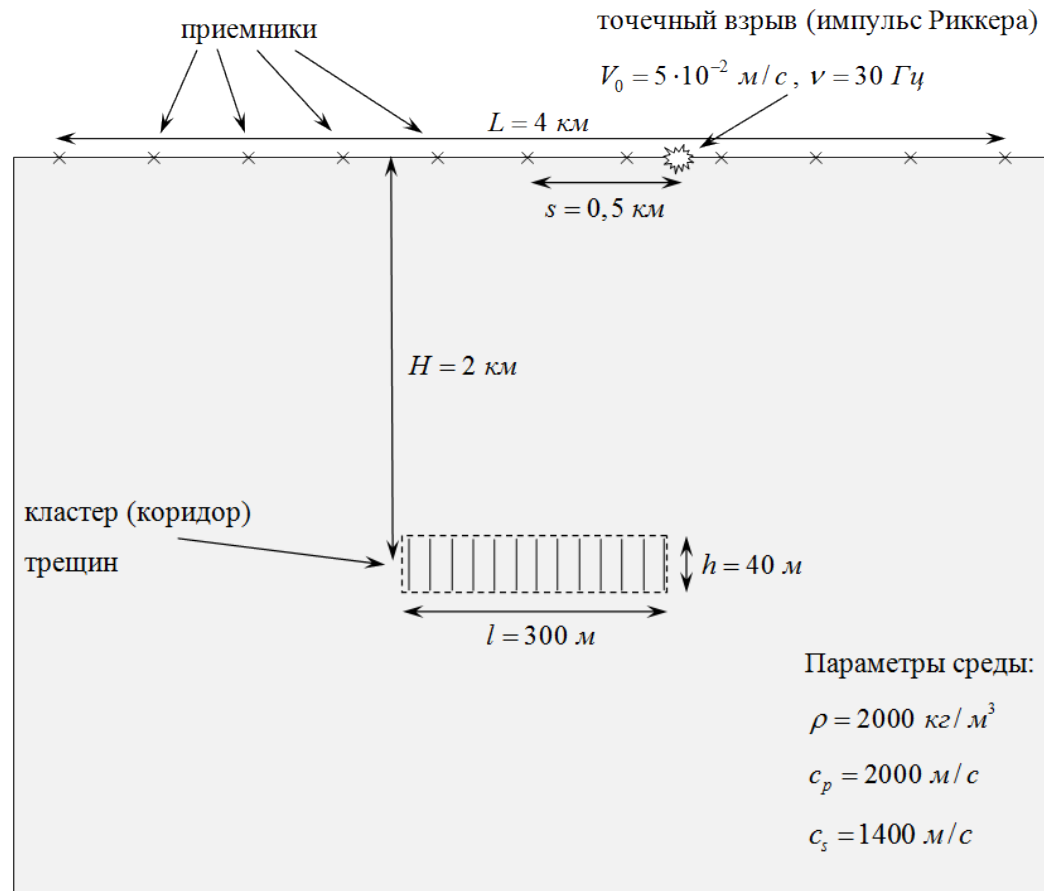


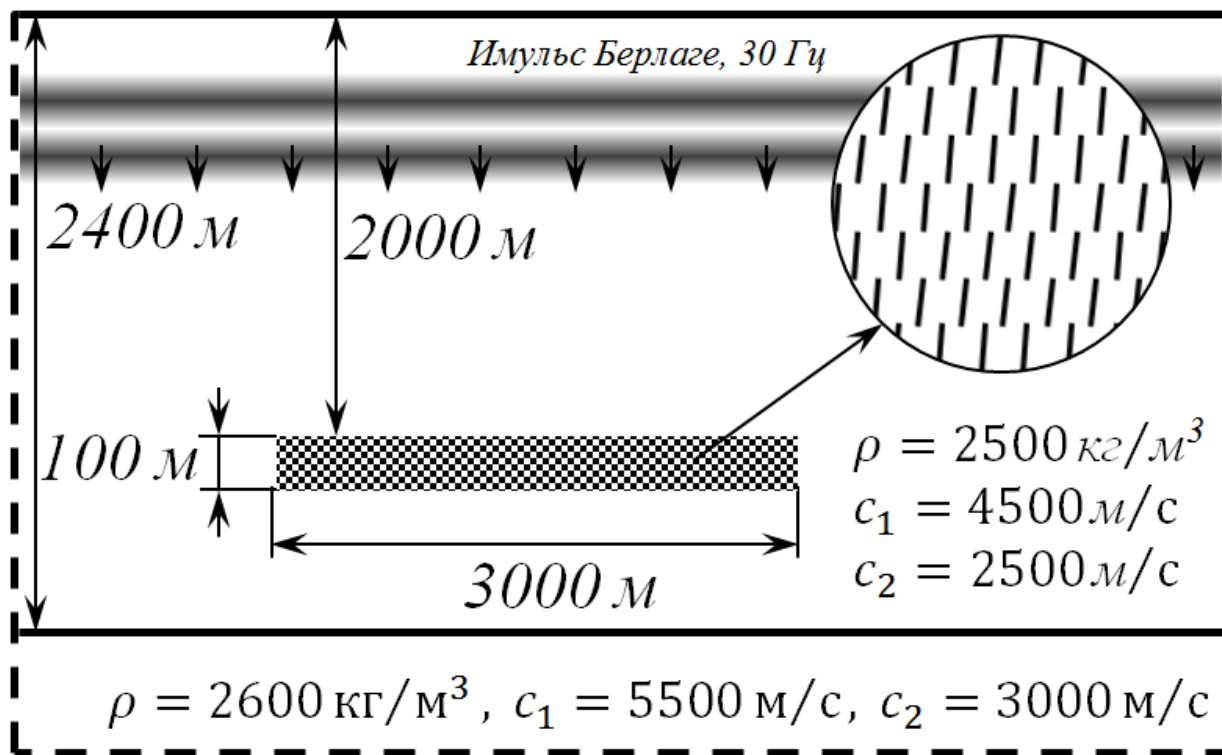
# Численное моделирование в геологии



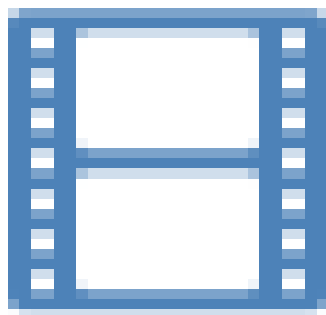
# Задачи численного моделирования

- Исследование свойств геологических сред
- Выявление закономерностей откликов
- Построение осредненных моделей сред
- Обратные задачи численного моделирования





# Коридор флюидонасыщенных



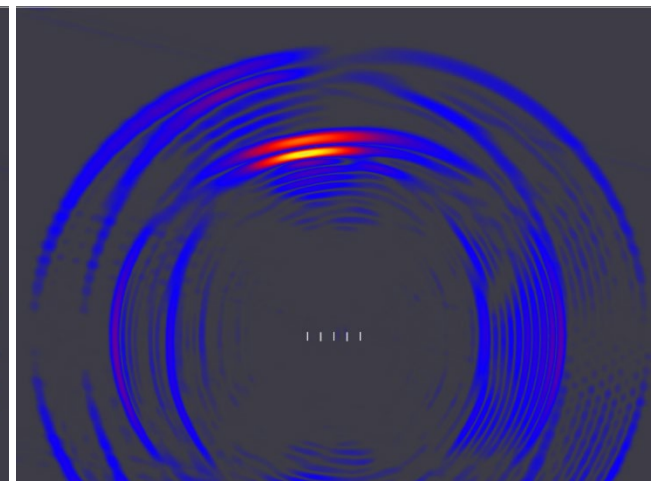
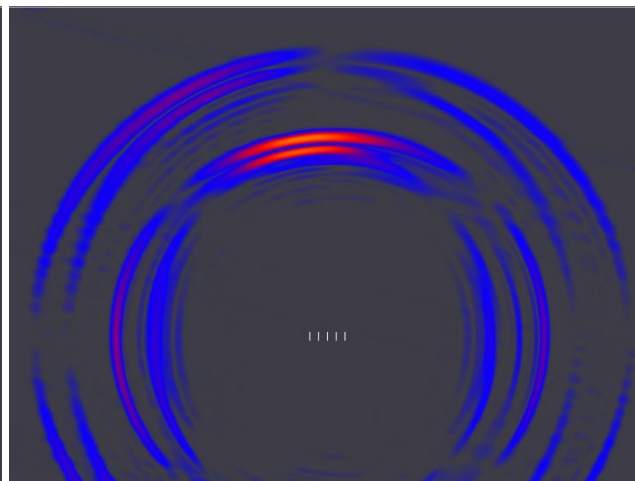
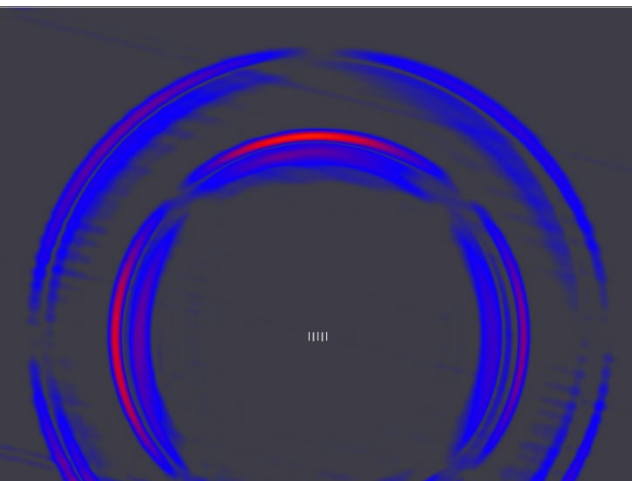
# Коридор флюидонасыщенных вертикальных трещин

расстояние между трещинами / длина трещин

0,5

1,0

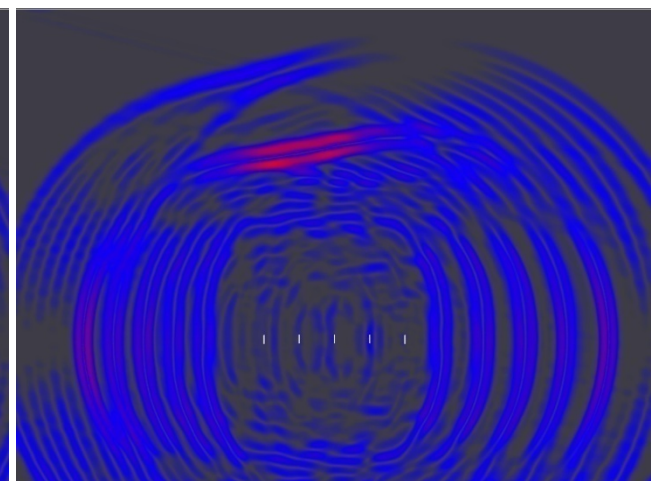
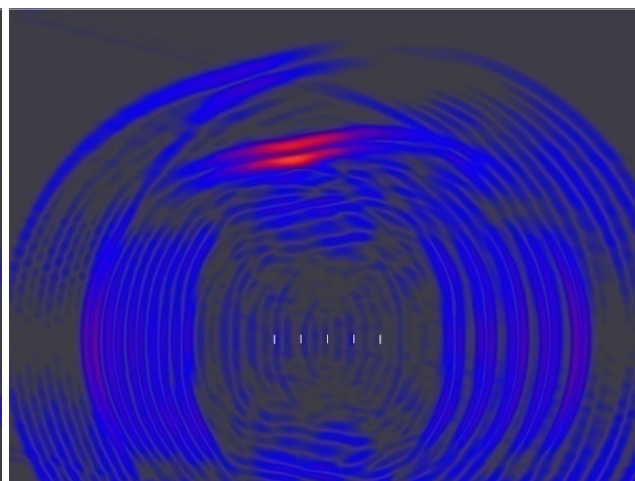
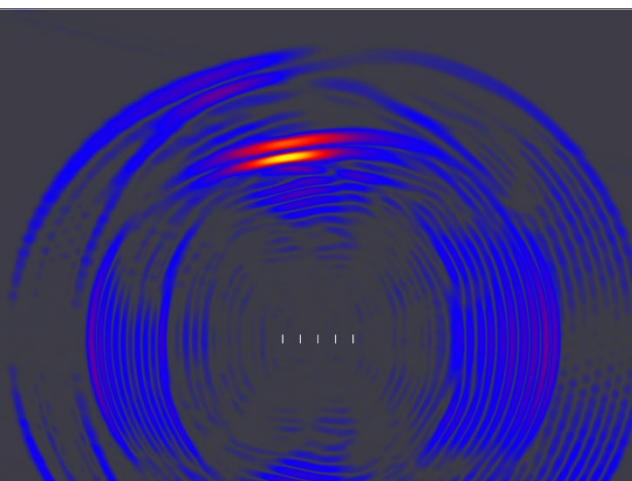
1,5



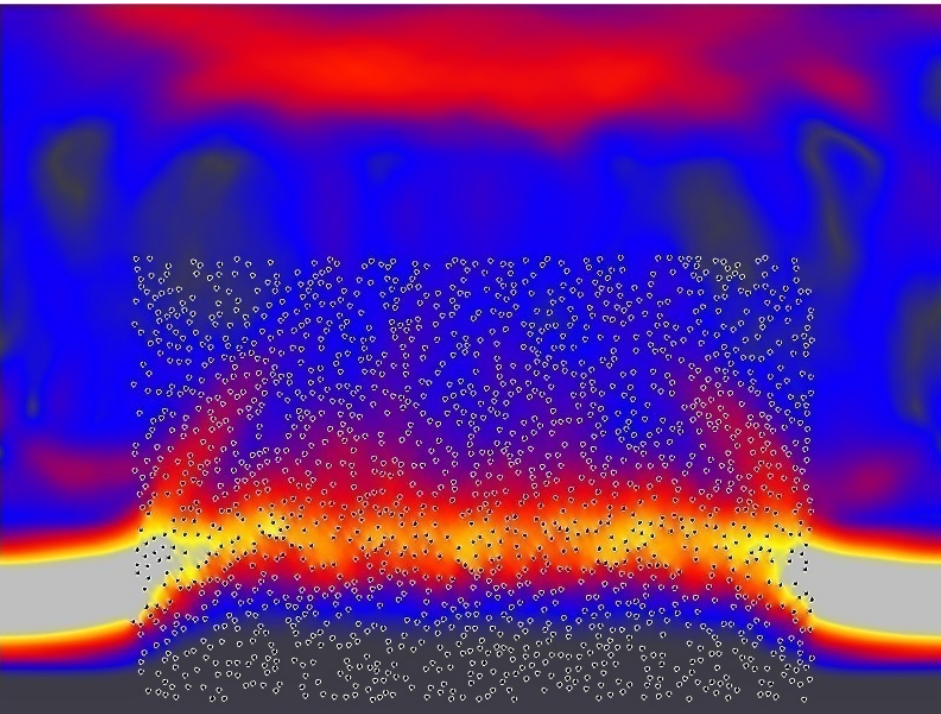
2,0

3,0

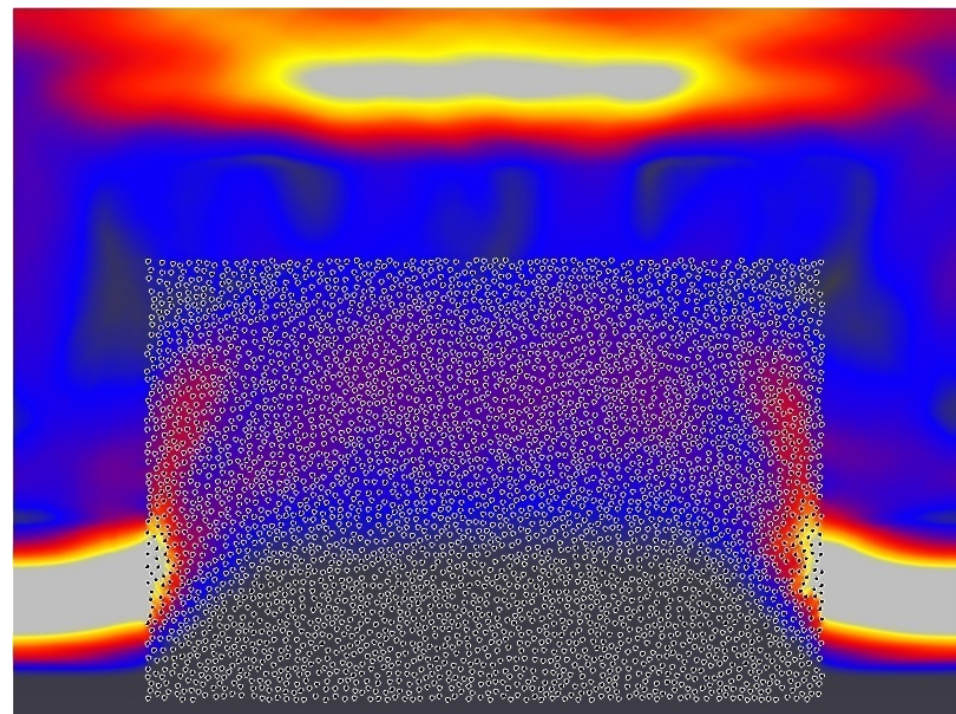
4,0



# Сравнение сред с разной пористостью



Porosity 10%



Porosity 40%

# Пористые сооружения

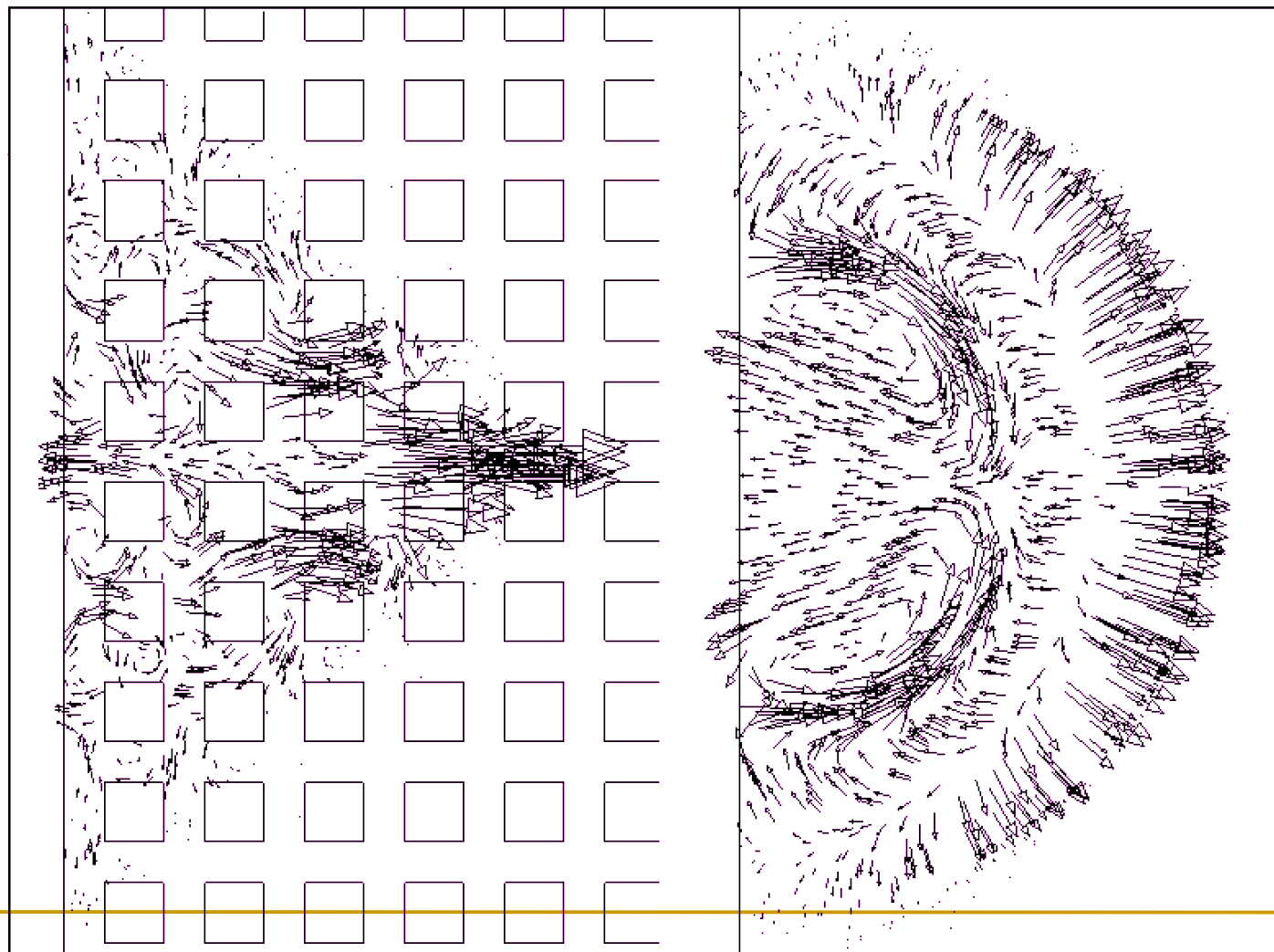
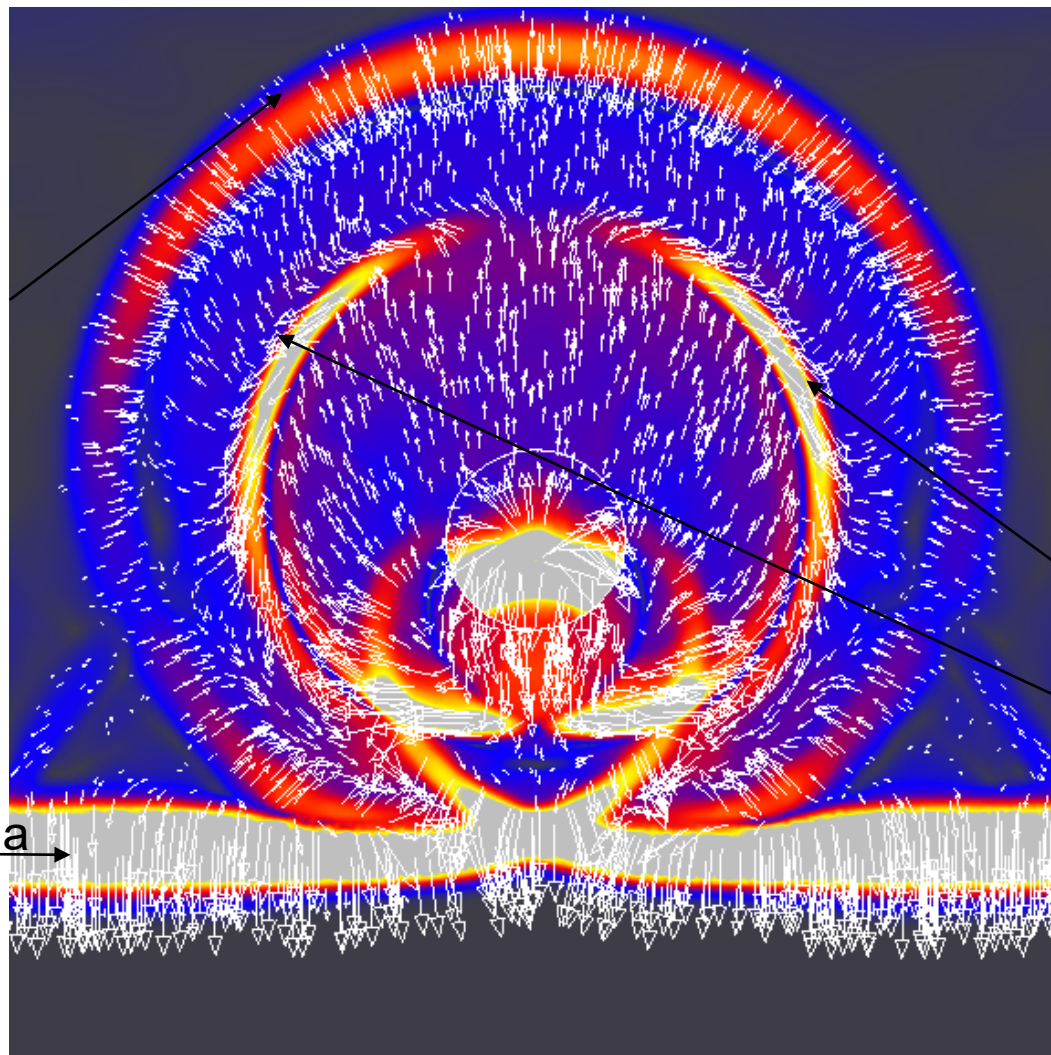


рис. 1 Петров И.Б., Чибриков В.В., Челноков Ф.Б.  
Расчет волновых процессов и процессов разрушения в пористых средах.

# Простая флюидонасыщенная полость

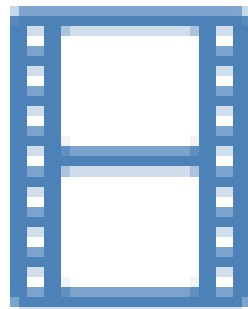


Отраженная  
продольная  
волна

Прошедшая волна

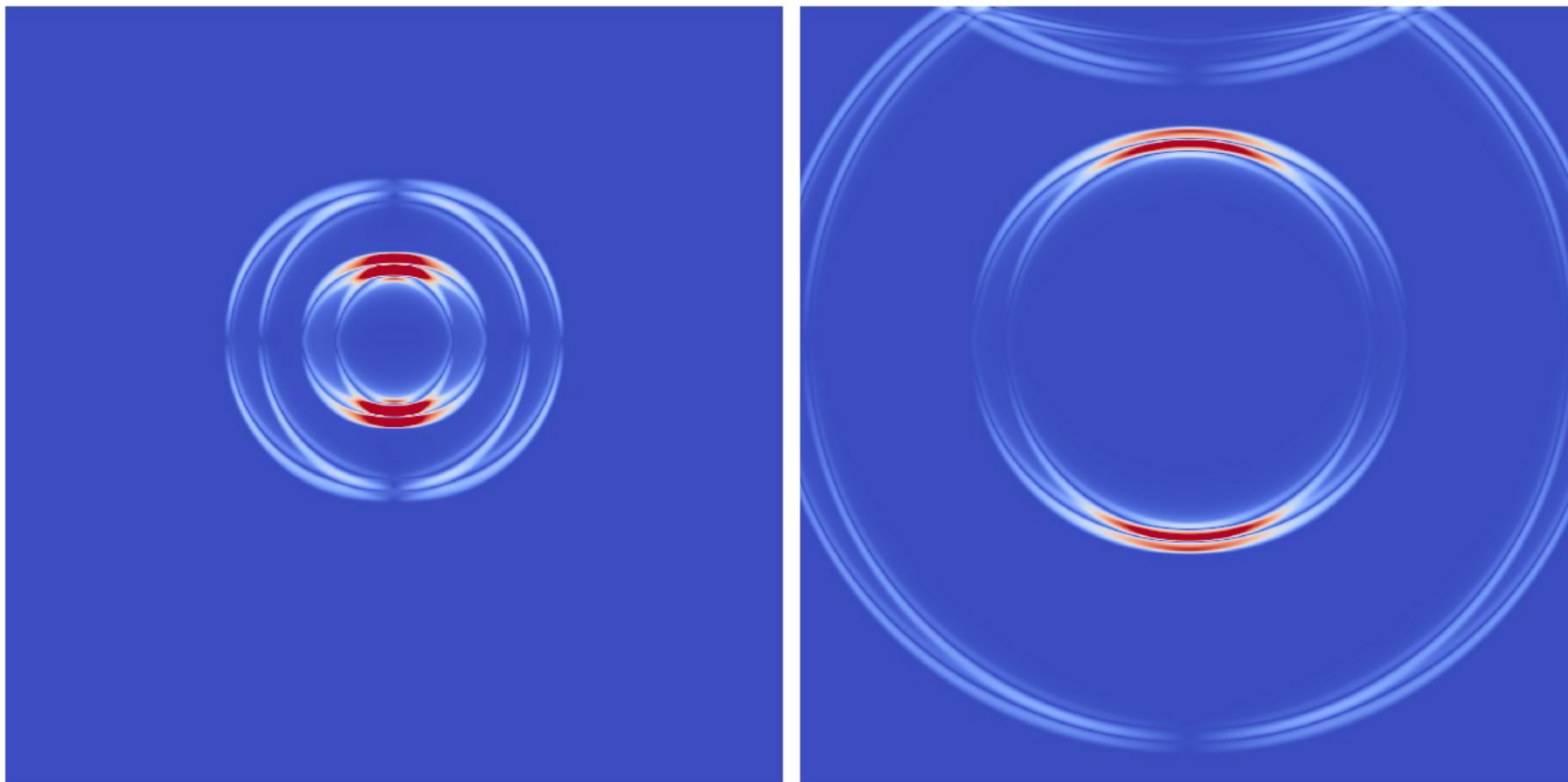
Отраженная  
волна

# Многослойная геологическая среда



---

# Расчет воздействия на наземное сооружение сейсмических волн от эпицентра землетрясения



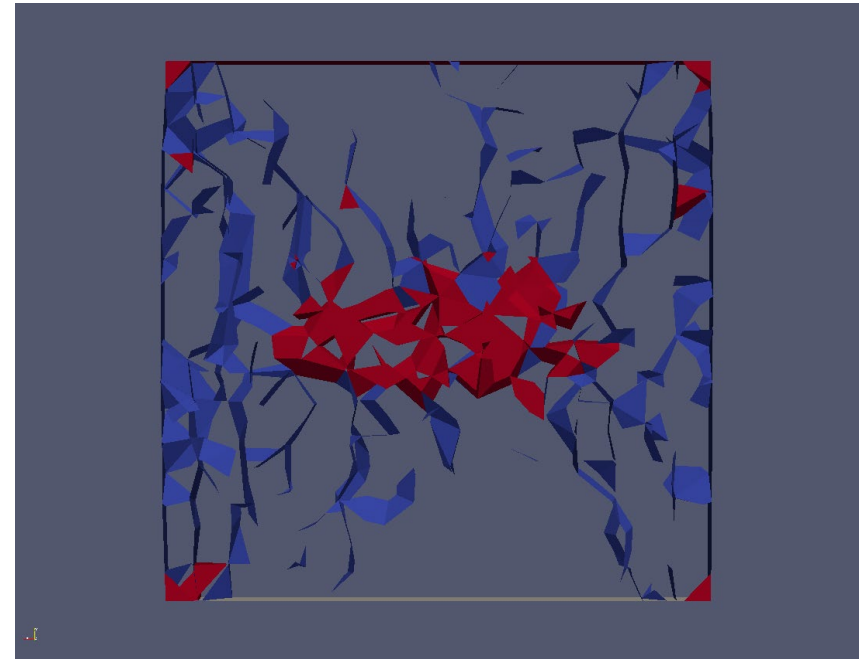
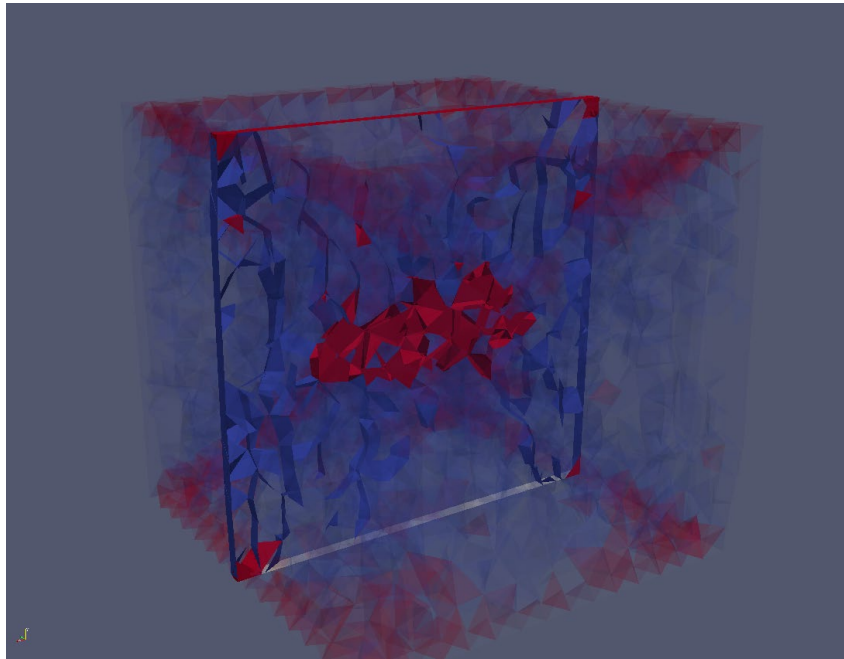
# Численное моделирование экспериментов по исследованию прочностных характеристик льда



# Механико-математическая модель льда

- изотропная упруго-идеально-пластическая модель
- критерий хрупкого разрушения по главным напряжениям и пластического (объемного) разрушения в случае превышения величины пластической деформации порогового значения

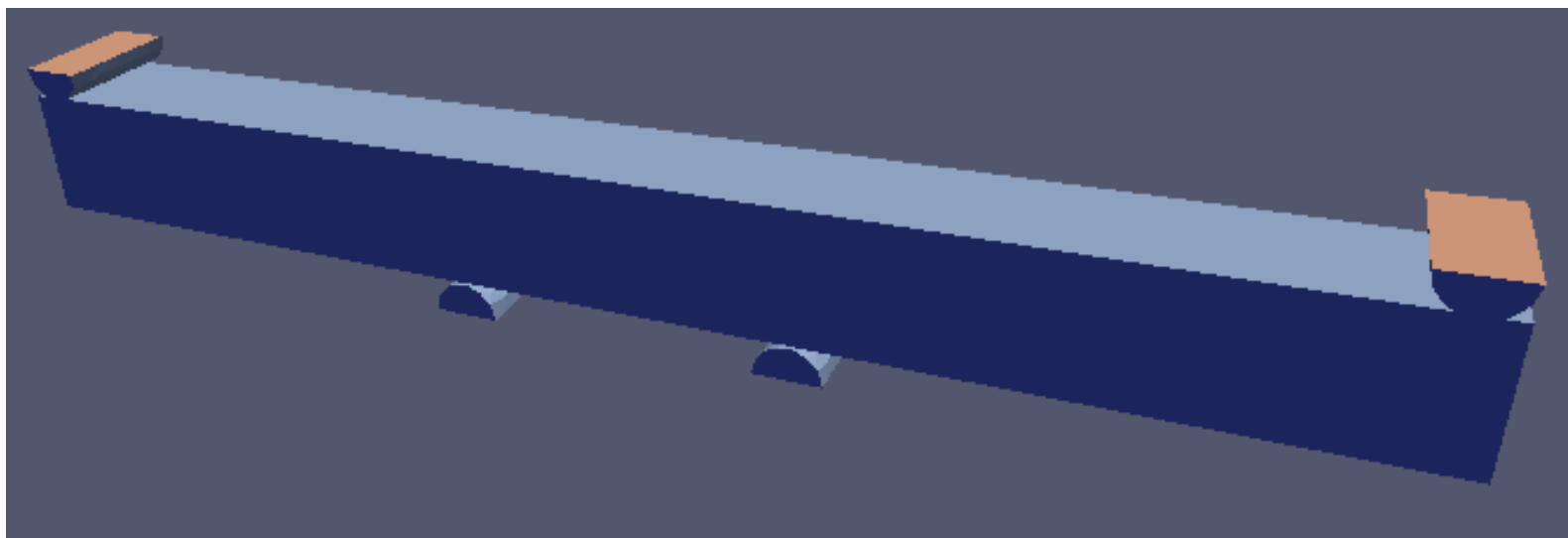
# Сечение картины разрушений ледяного образца



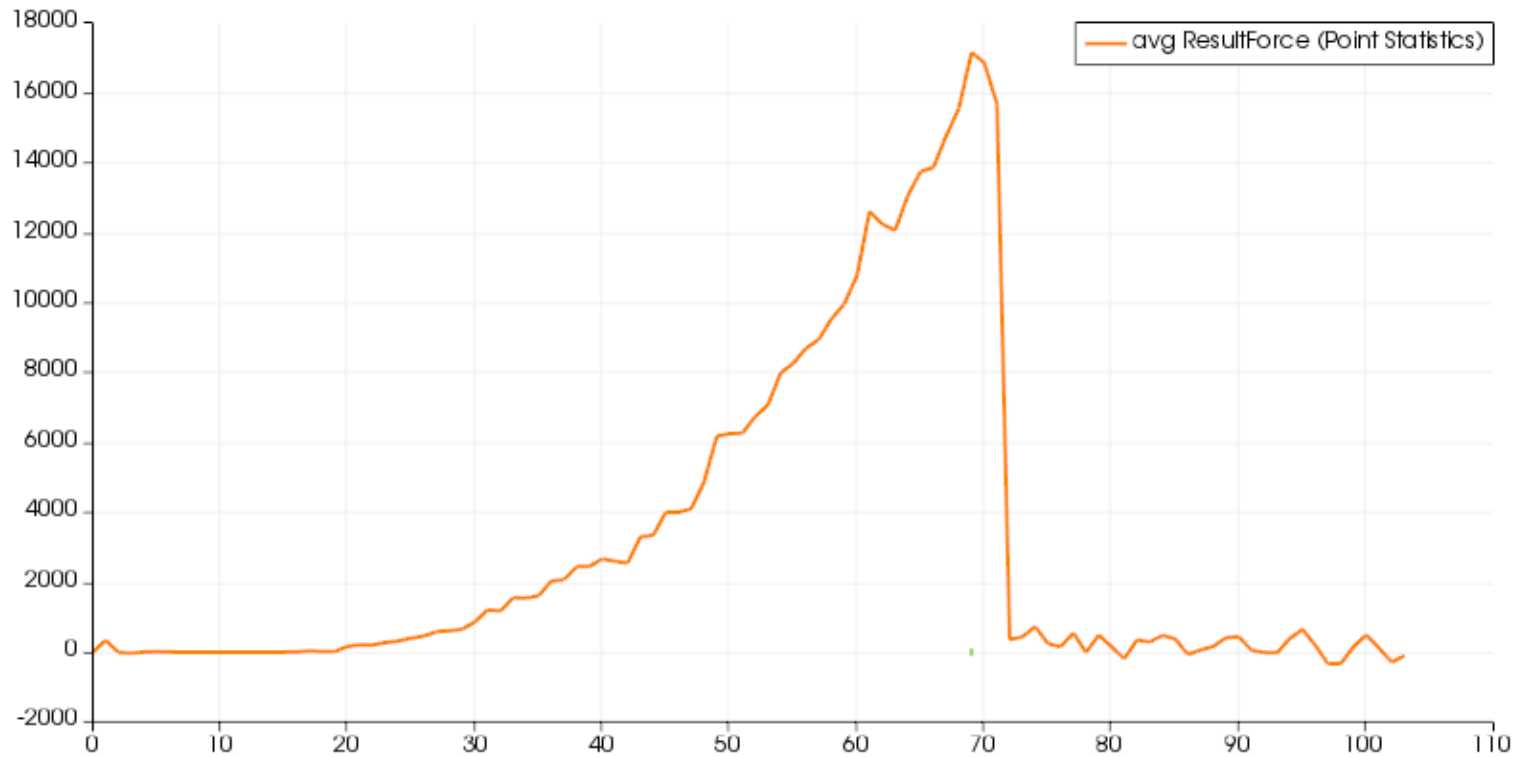
# Сравнение компьютерного и натурного эксперимента

- Снаружи преобладают вертикальные трещины, образовавшиеся в результате локальных растяжений.
- Наименее подвержены разрушению конические области, находящиеся в непосредственном контакте с прессом.
- Внутри образца преобладает объёмное разрушение, в результате чего лёд крошится в мелкую крошку.

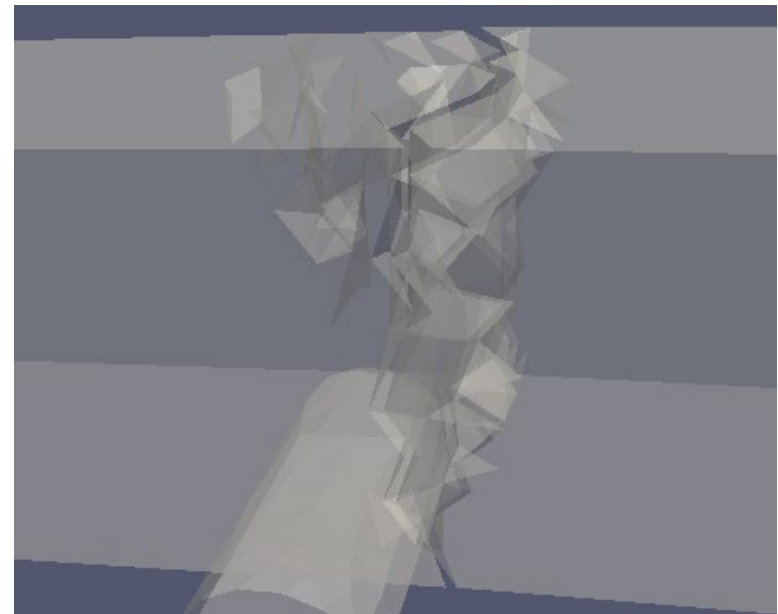
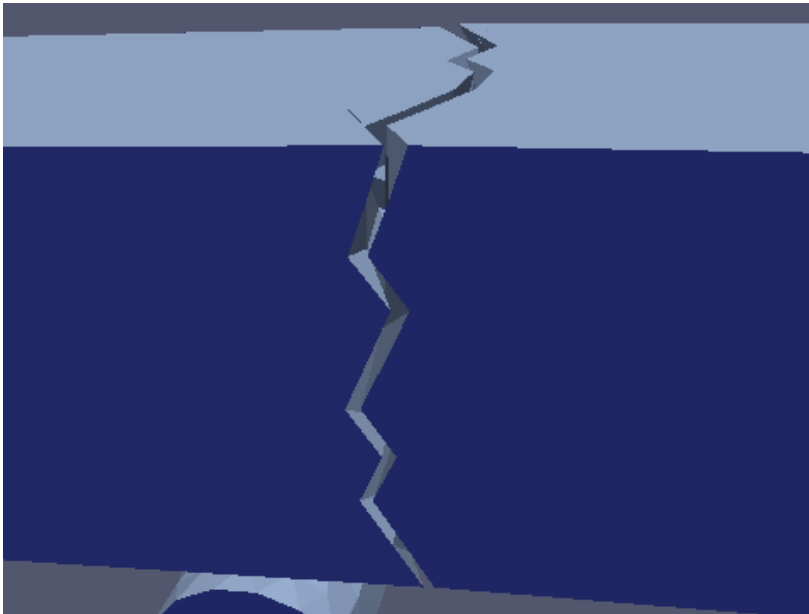
# Прочность льда на изгиб 4-х точечным методом

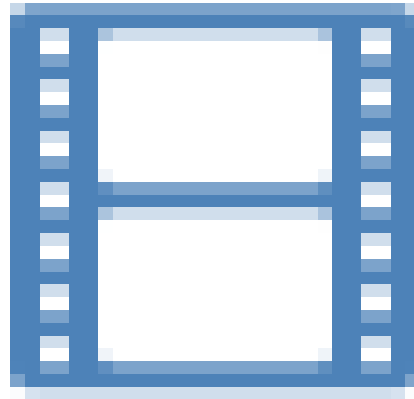


# Зависимость силы нагрузки от времени на индентер

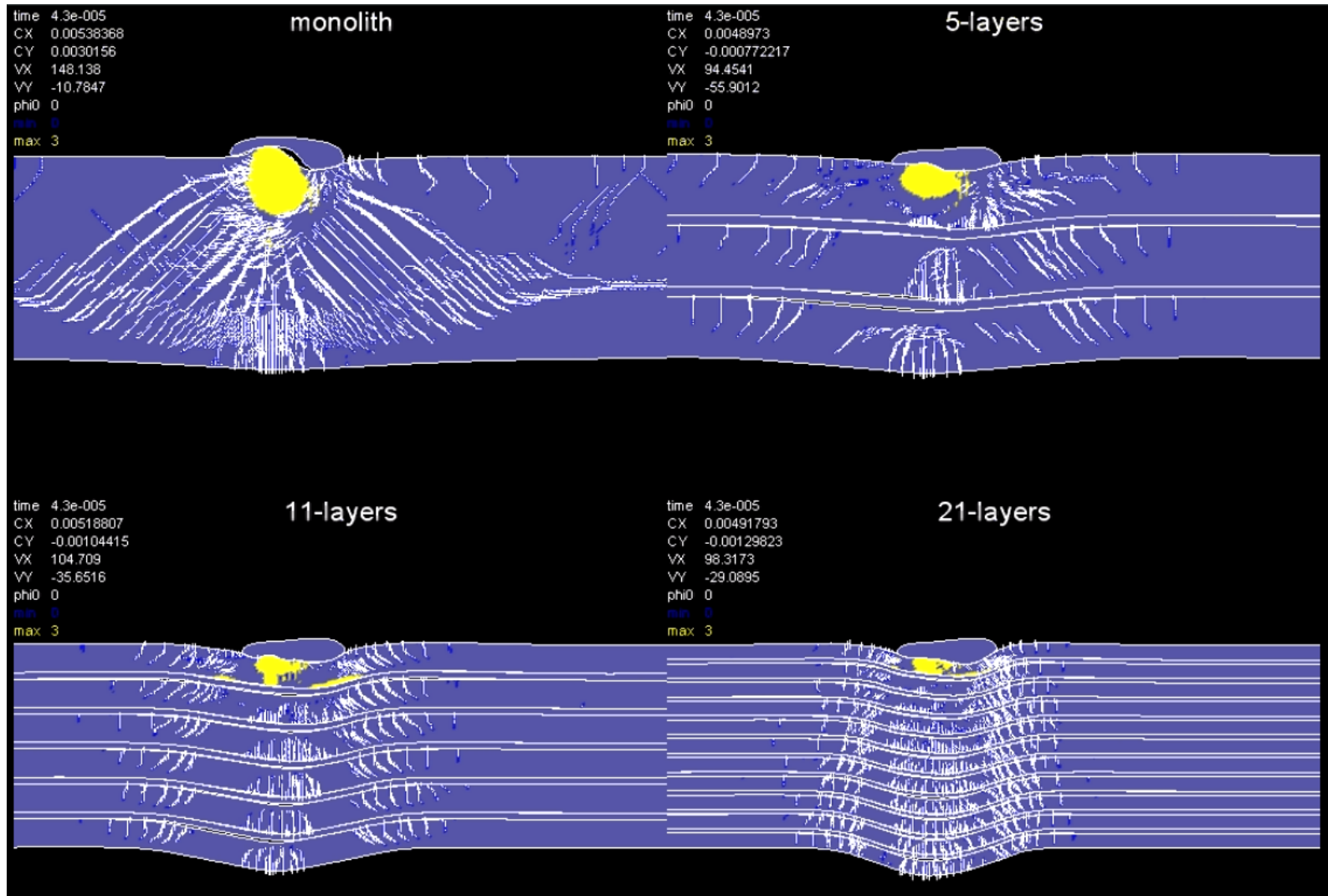


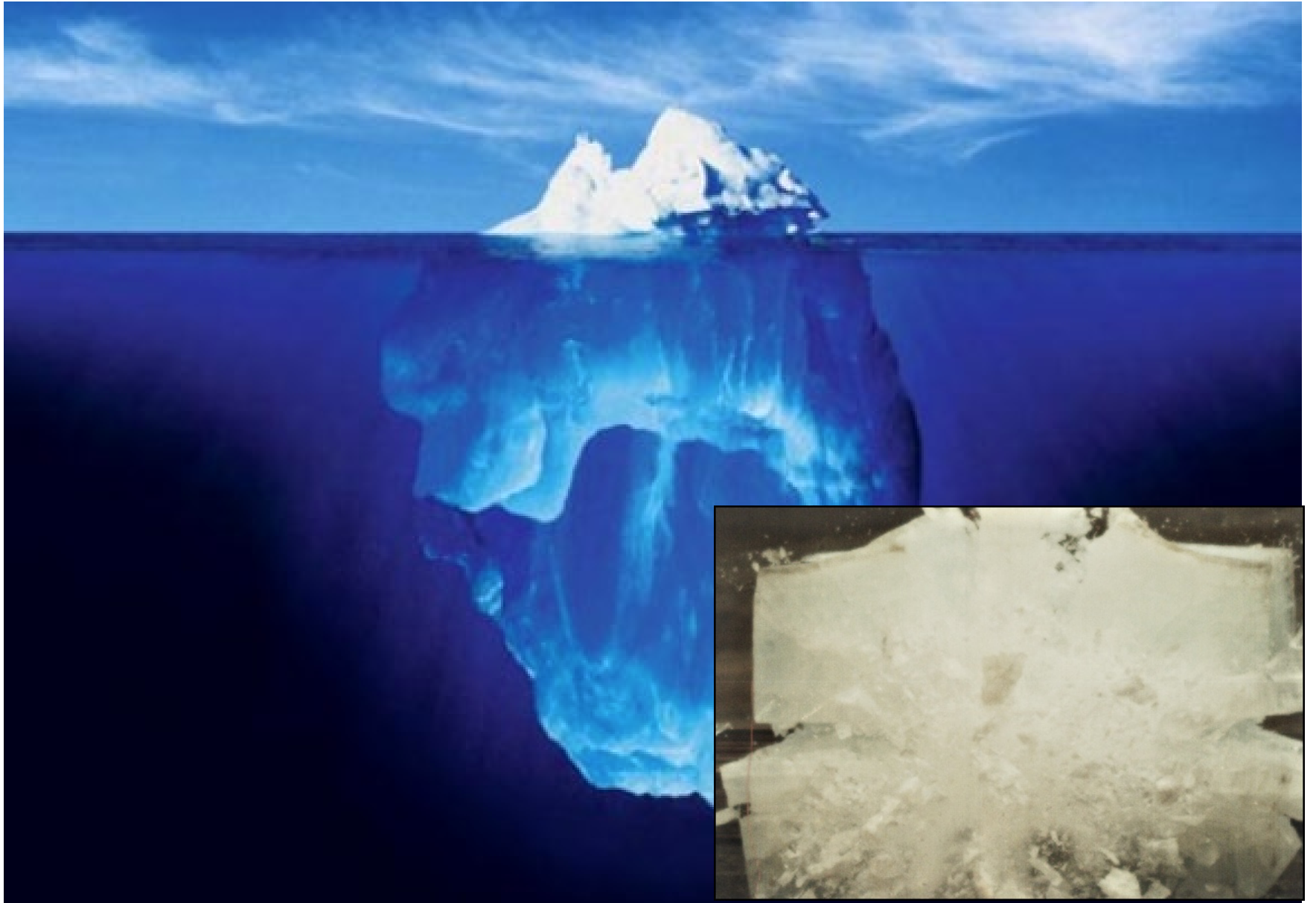
# Внешняя и внутренняя структура образовавшейся трещины





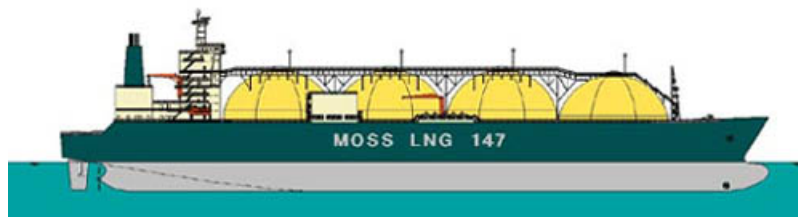
# Multilayer glass: number of layers





# Моделирование столкновения танкера с причалом

Институт автоматизации проектирования РАН. Н/рук. темы д.ф.-м.н. В.Л.Якушев



Сжиженный газ (Liquefied Natural Gas - LNG) привлекает внимание как источник экологически чистой энергии, который может быть доставлен по морю в различные страны, но вместе с тем представляет серьезную угрозу при катастрофах.

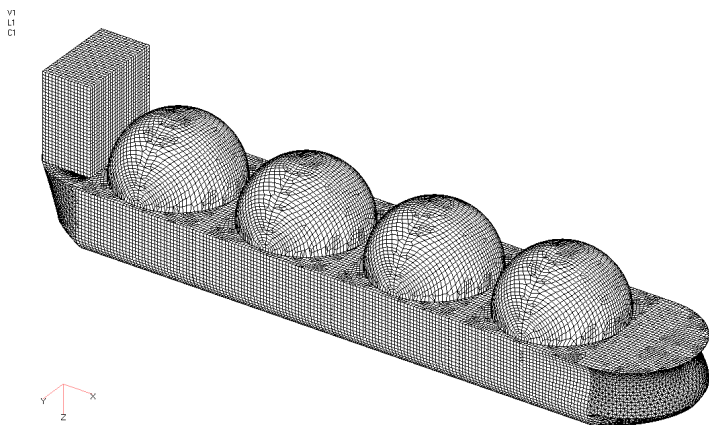


РИС. 1. Конечно-элементная модель танкера.

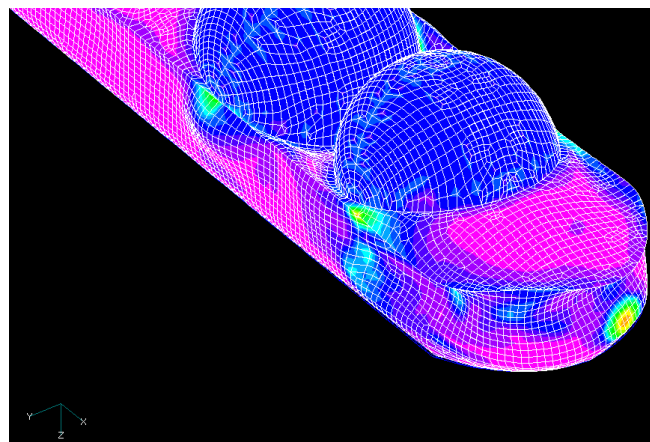
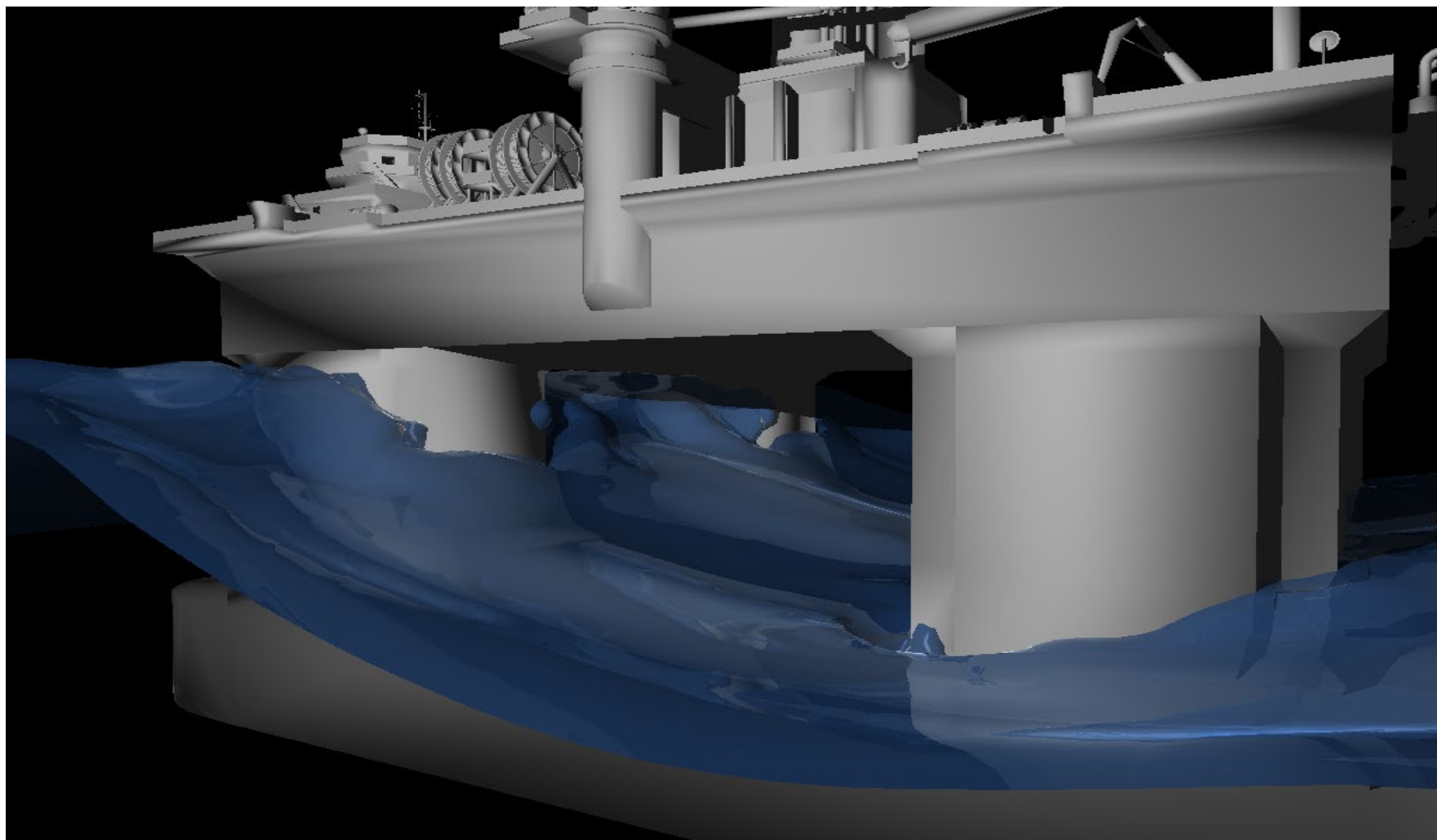


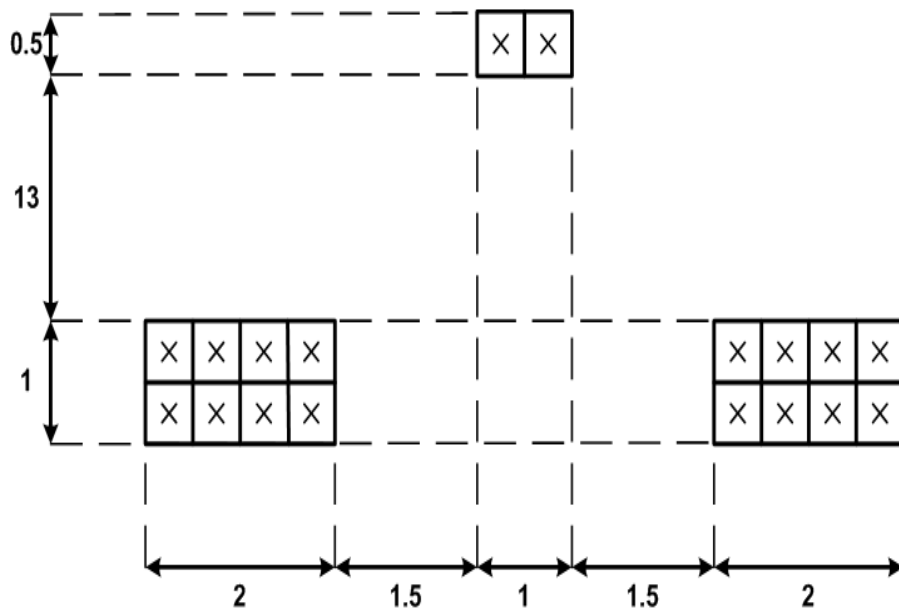
РИС. 2. Распределение напряжений при ударе.

# Штормовое воздействие на ледостойкую платформу (ИВМ РАН)

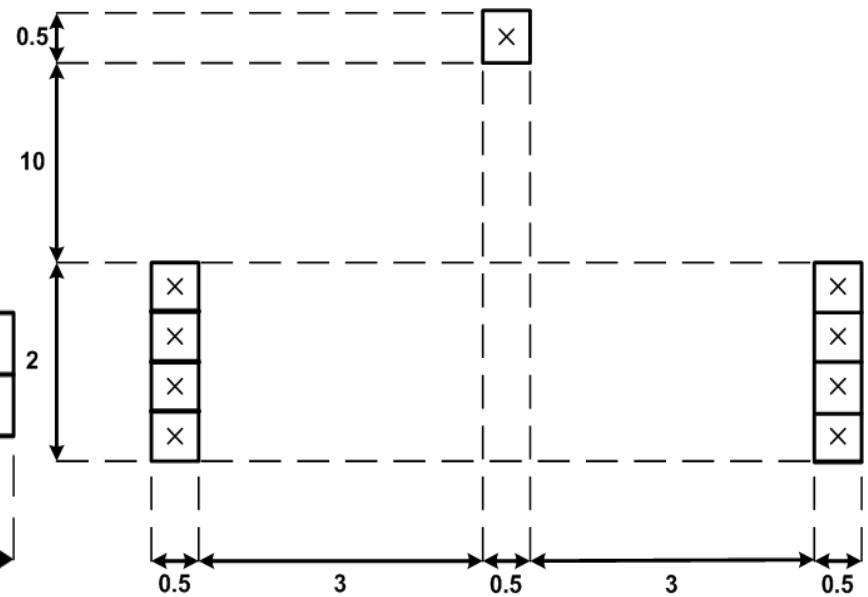




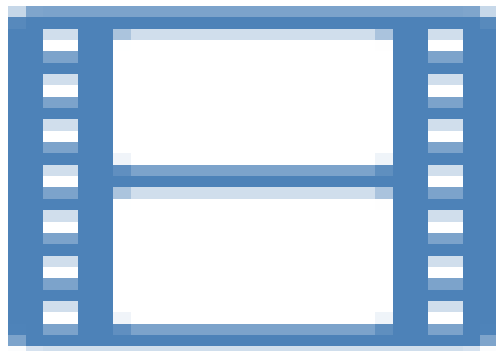
- Схема распределения нагрузки от шасси самолетов: а) ИЛ-76 ТД, б) С-130Н Hercules.



■ а)



■ б)



# Моделирование структуры (матрицы и волокон)

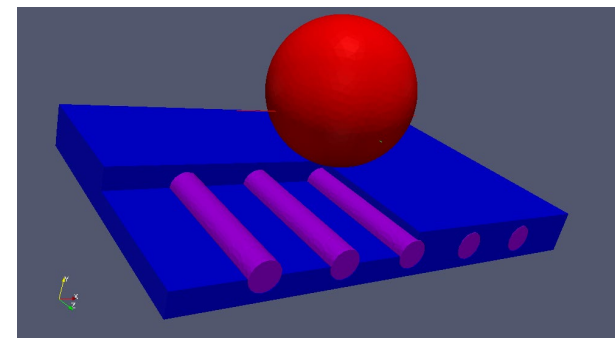
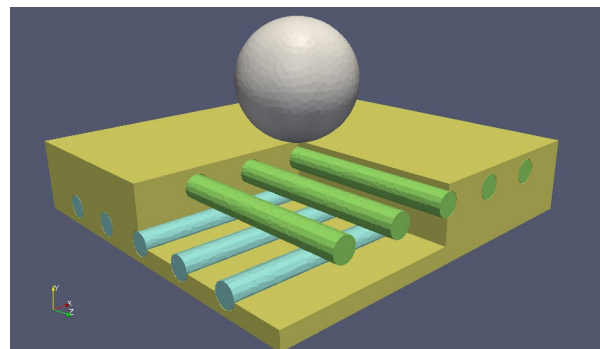
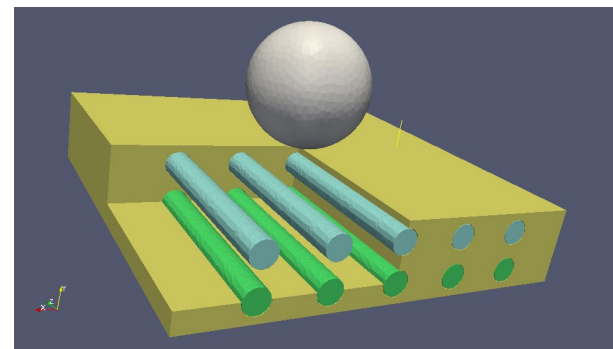
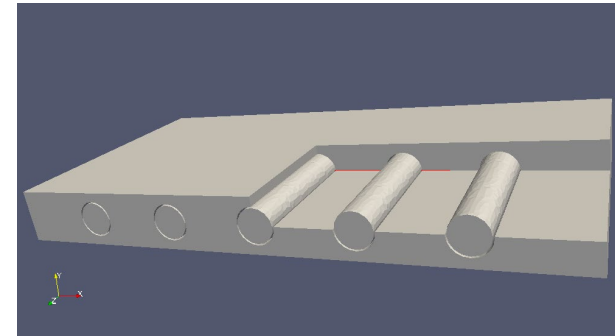
- ❑ Начальные условия — напряжения отсутствуют, конструкция покоится.
- ❑ Граничные условия — свободная граница.
- ❑ Контактные условия — трение между ударником и конструкцией,  $k=0.1$ .
- ❑ Внутренние границы — полное сцепление с возможностью разрушения.
- ❑ Энергия удара — 1.25, 12.5 и 125 Дж.

Один слой волокон:

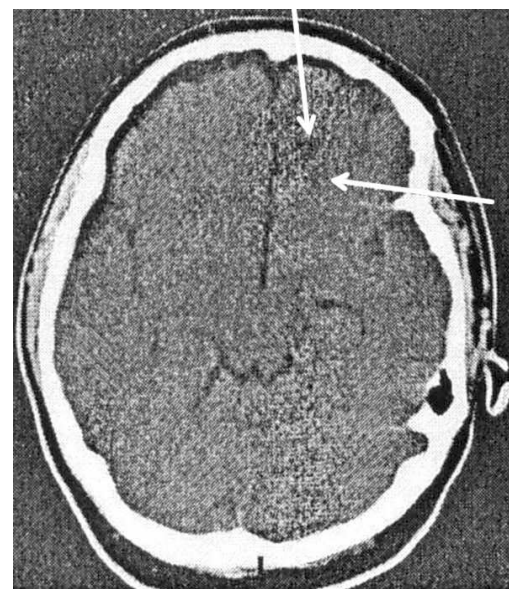
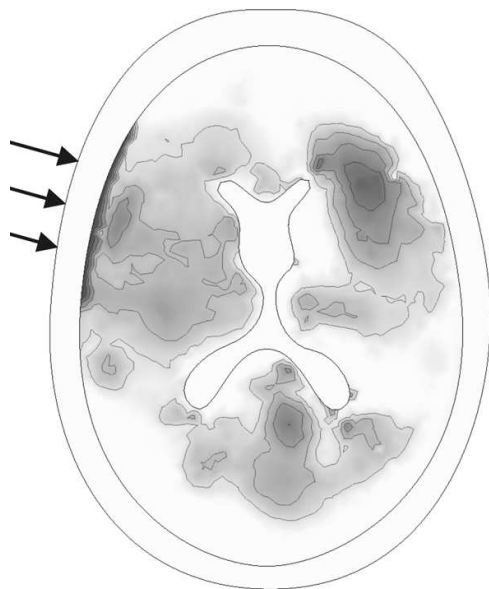
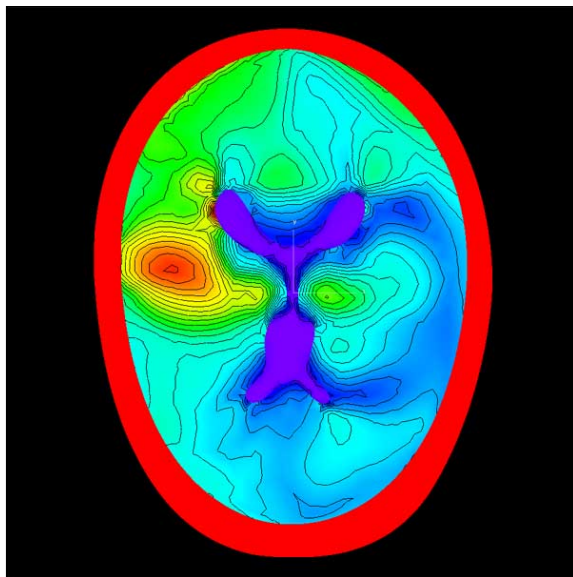
- ❑ a. реальные параметры материала;
- ❑ b. однородный материал.

Два слоя волокон:

- ❑ a. параллельные слои;
- ❑ b. скрещенные слои.

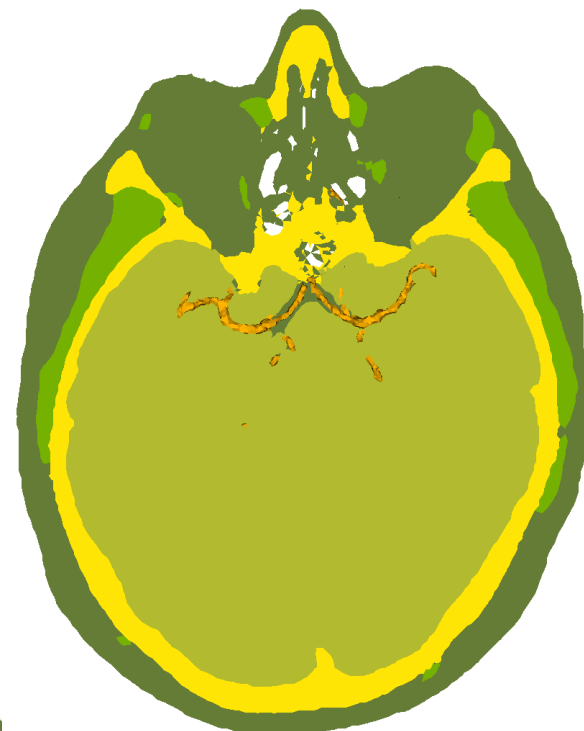
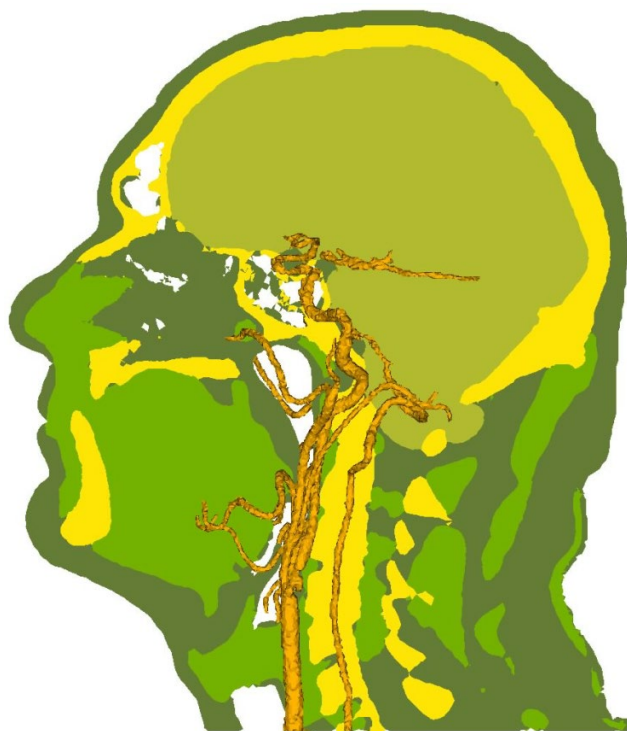


# Сравнение с клиническими результатами



# Транскраниальное УЗИ

датчик



Жир



Мышцы



Мозг

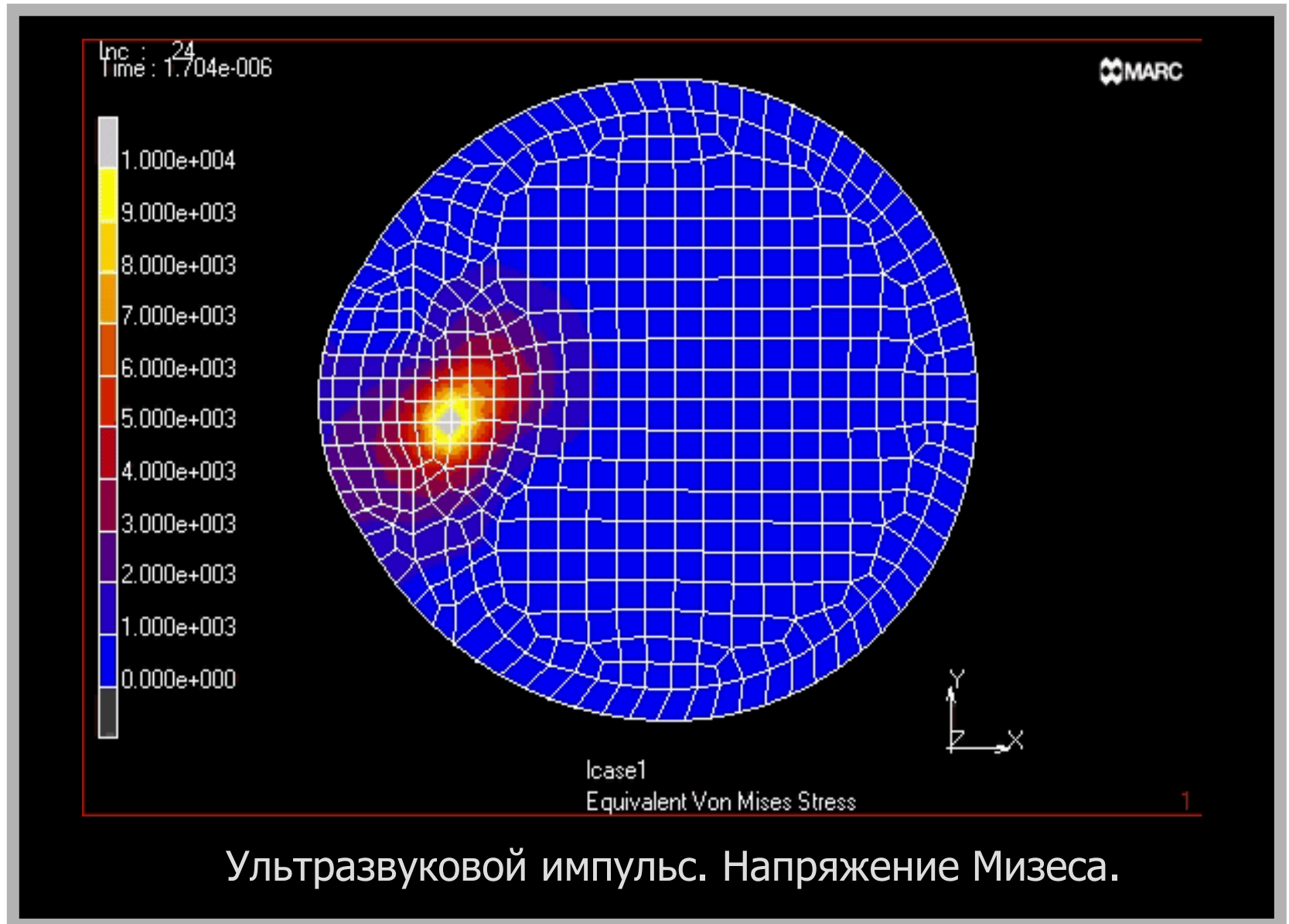


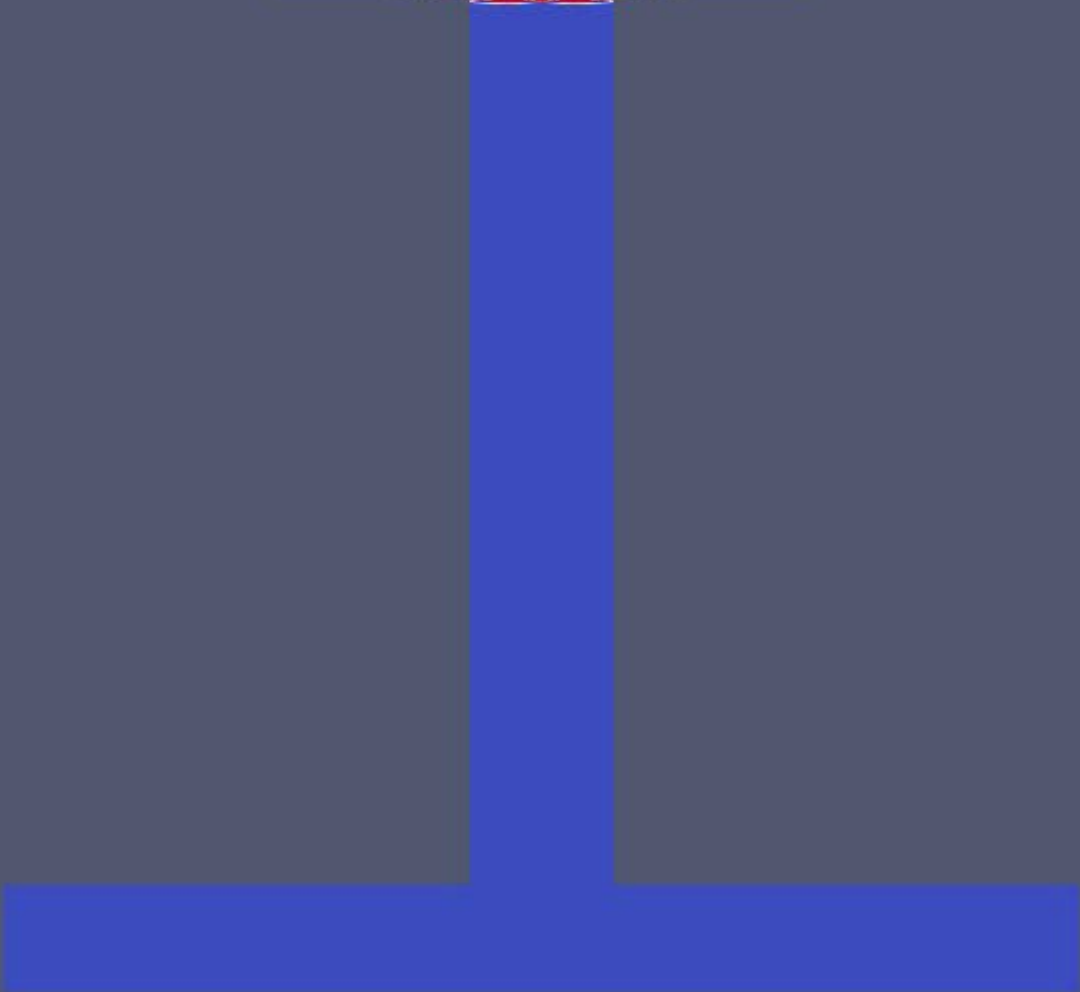
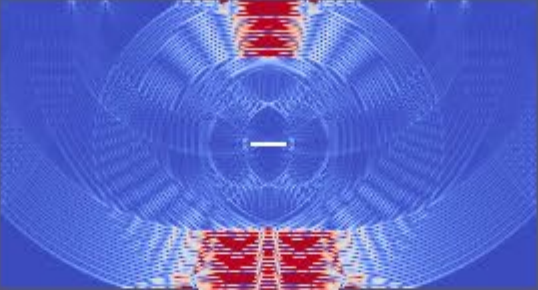
Кость



Сосуды

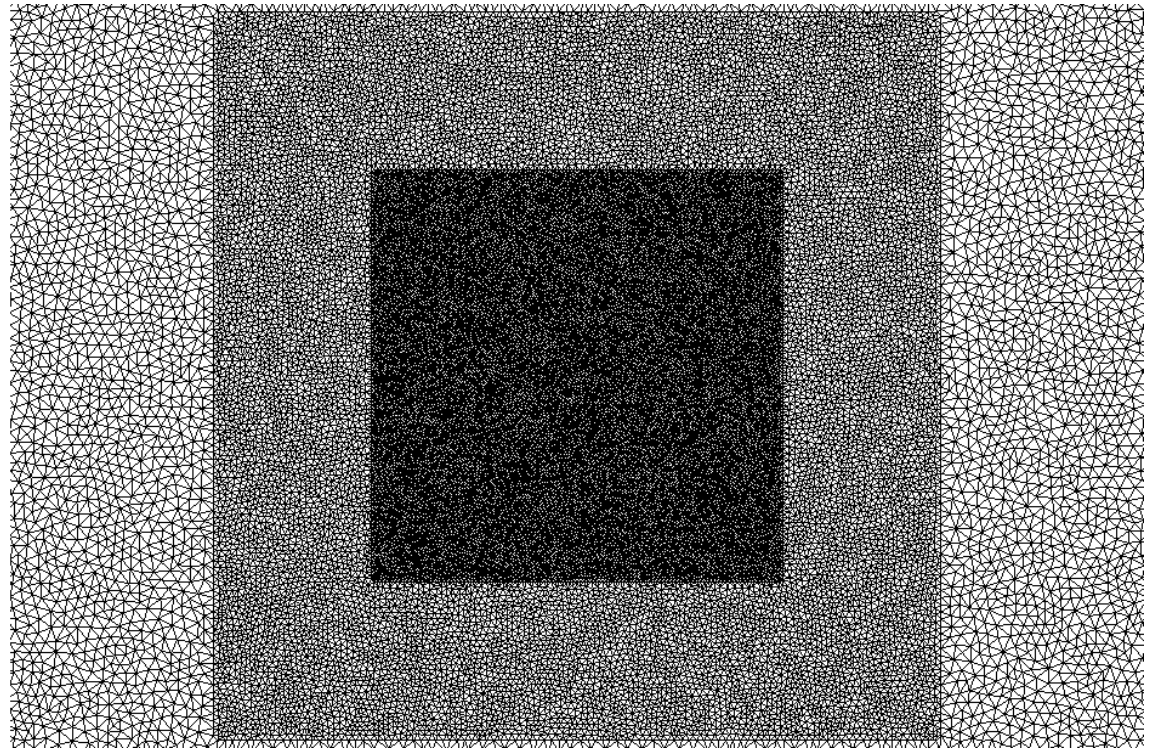
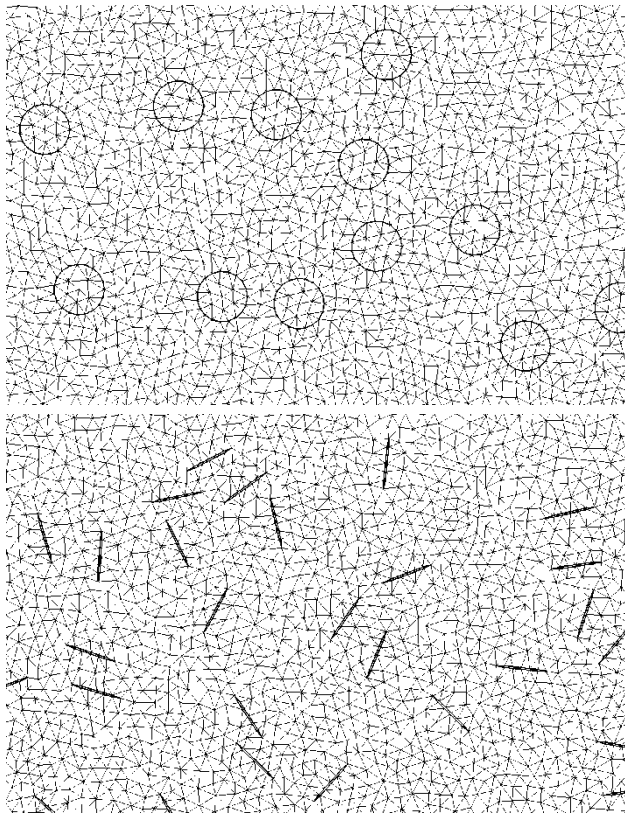
# Удаление катаракты





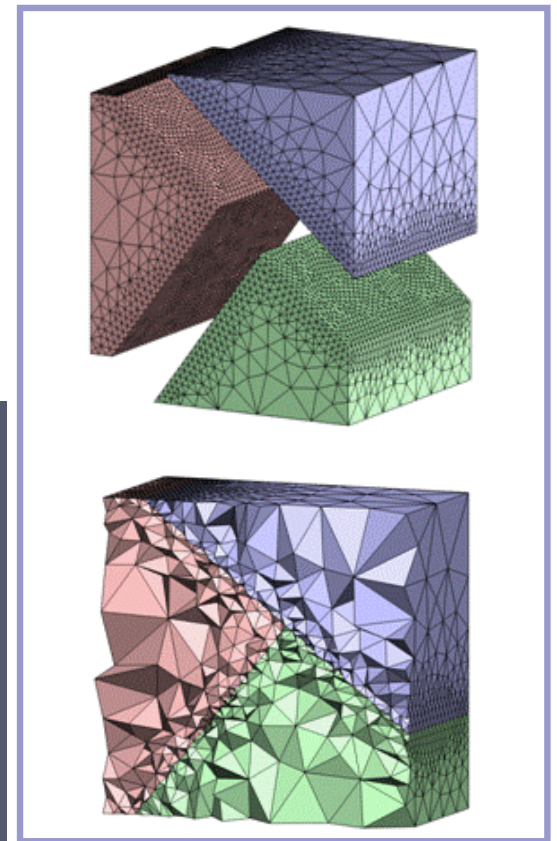
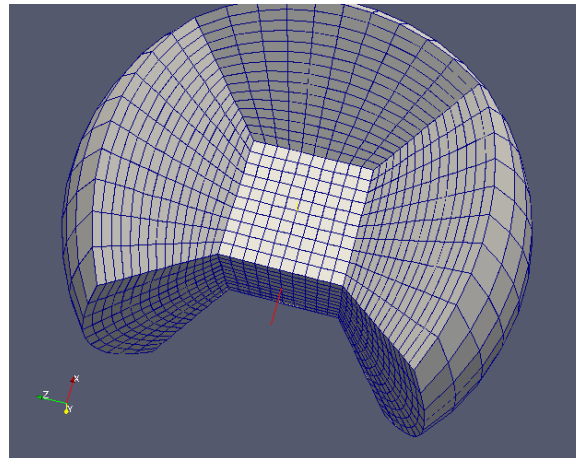
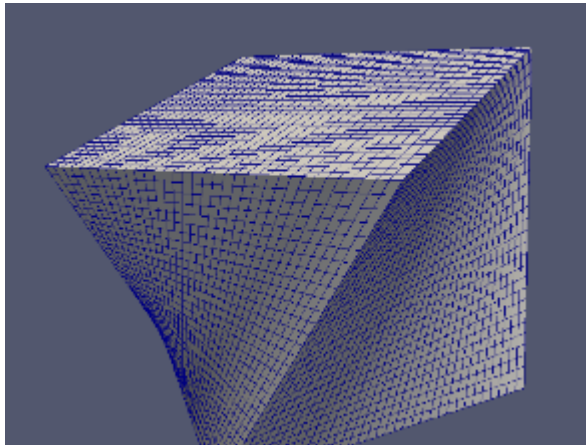
# Расчетная сетка

- Тетраэдральная сетка
- Сетки с меняющейся триангуляцией

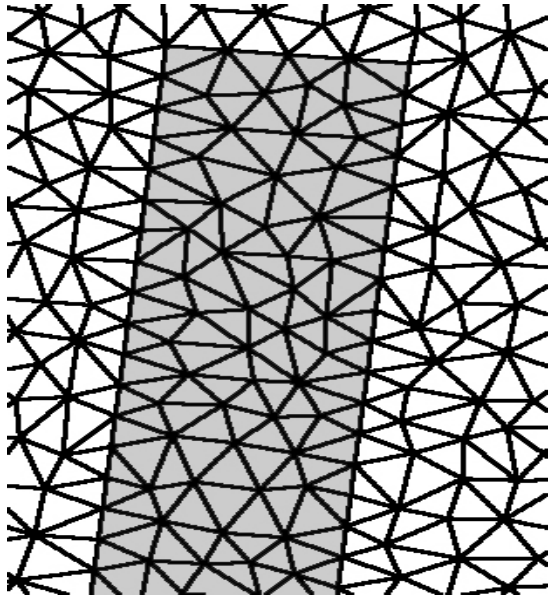


# Grids

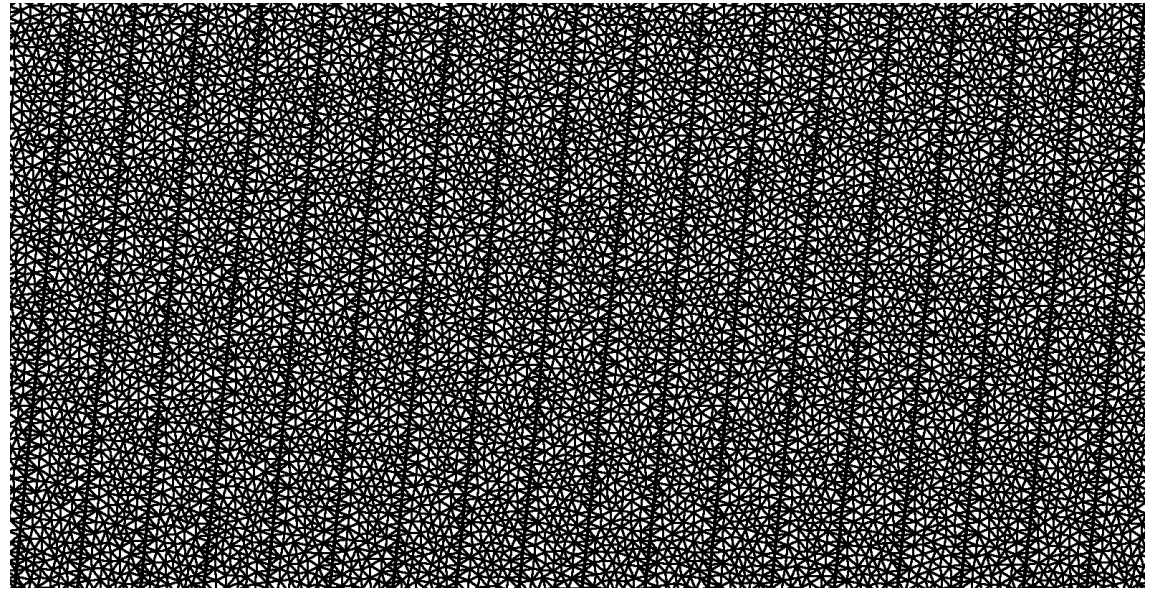
- Curvilinear grids
- Tetrahedral grids



# Моделирование мегатрещины



**Осреднённая  
модель**



**Набор параллельных тонких трещин**

**Длина прямоугольника 200 м, ширина 10 м**

# Сейсмическая разведка. Определяющие системы уравнений.

■ Твердое тело:  $\rho \partial_t \bar{v} = (\nabla \cdot \sigma)^T$

$$\partial_t \sigma = \lambda (\nabla \cdot \bar{v}) \mathbf{I} + \mu (\nabla \otimes \bar{v} + (\nabla \otimes \bar{v})^T)$$

$\rho$  плотность среды,  $\bar{v}$  скорость,  $\sigma$  симметричный тензор напряжений Коши,  $\lambda, \mu$  параметры Ляме, определяющие свойства упругого тела,

$$c_p = \left( (\lambda + 2\mu) / \rho \right)^{1/2} \text{ скорость продольных волн,}$$

$$c_s = \left( \mu / \rho \right)^{1/2} \text{ скорость поперечных волн.}$$

■ Жидкость:  $\rho \partial_t \bar{v} = \nabla p$

$$\partial_t p = c^2 \rho (\nabla \cdot \bar{v})$$

$\rho$  плотность среды,  $\bar{v}$  скорость,  $p$  давление,  $c$  скорость звука.

# Rheology

- Linear elasticity:

$$q_{ijkl} = \lambda \delta_{ij} \delta_{kl} + \mu (\delta_{ik} \delta_{jl} + \delta_{il} \delta_{jk}),$$

$$F_{ij} = 0.$$

- Viscosity (Maxwell model):

$$q_{ijkl} = \lambda \delta_{ij} \delta_{kl} + \mu (\delta_{ik} \delta_{jl} + \delta_{il} \delta_{jk}),$$

$$F_{ij} = -\frac{\sigma_{ij}}{\tau_0}.$$

- Elastoplastic material (Prandtl-Reiss model):

$$q_{ijkl} = \lambda \delta_{ij} \delta_{kl} + \mu (\delta_{ik} \delta_{jl} + \delta_{il} \delta_{jk}) - \frac{I \mu \sigma_{ij} \sigma_{kl}}{K^2},$$

$$F_{ij} = 0.$$

$$I = \begin{cases} 0, & \text{если } S = \sigma_{xx}^2 + \sigma_{yy}^2 + \sigma_{zz}^2 + 2\sigma_{xy}^2 + 2\sigma_{xz}^2 + 2\sigma_{yz}^2 < 2K^2 \\ 1, & \text{если } S \geq 2K^2. \end{cases}$$

# Anisotropy

$$\frac{\partial \vec{u}}{\partial t} + \mathbf{A}_x \frac{\partial \vec{u}}{\partial x} + \mathbf{A}_y \frac{\partial \vec{u}}{\partial y} + \mathbf{A}_z \frac{\partial \vec{u}}{\partial z} = F(x, y, z, t)$$

$$\vec{u} = \{v_x, v_y, v_z, \sigma_{xx}, \sigma_{xy}, \sigma_{xz}, \sigma_{yy}, \sigma_{yz}, \sigma_{zz}\}^T$$

$$2q_{ijkl} = c_{ik} \delta_{ij} \delta_{kl} + \sum_{m=1}^3 \sum_{n=1}^3 c_{m+3, n+3} |\varepsilon_{mij}| |\varepsilon_{nkl}| +$$

$$+ \sum_{m=1}^3 c_{i, m+3} \delta_{ij} |\varepsilon_{mkl}| + \sum_{m=1}^3 c_{m+3, k} |\varepsilon_{mij}| \delta_{kl}$$

$$c_{ik} = \begin{pmatrix} c_{11} & c_{12} & c_{13} & c_{14} & c_{15} & c_{16} \\ c_{12} & c_{22} & c_{23} & c_{24} & c_{25} & c_{26} \\ c_{13} & c_{23} & c_{33} & c_{34} & c_{35} & c_{36} \\ c_{14} & c_{24} & c_{34} & c_{44} & c_{45} & c_{46} \\ c_{15} & c_{25} & c_{35} & c_{45} & c_{55} & c_{56} \\ c_{16} & c_{26} & c_{36} & c_{46} & c_{56} & c_{66} \end{pmatrix}$$

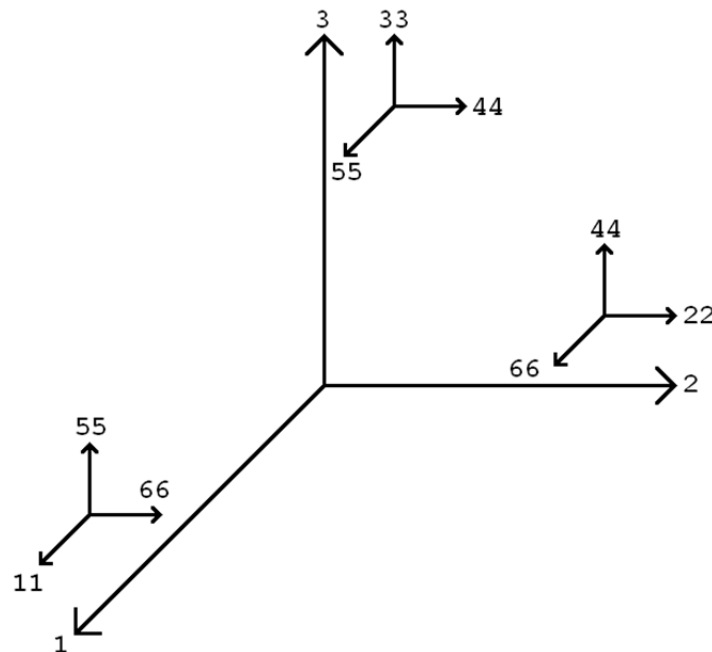
# Orthotropy

$$C_{ij,kl} = c_{i,k} \delta_{ij} \delta_{kl} + \sum_{m=1}^3 c_{i,m+3} \delta_{ij} |\varepsilon_{mkl}| + \sum_{m=1}^3 c_{m+3,k} |\varepsilon_{mij}| \delta_{kl} + \sum_{m=1}^3 \sum_{n=1}^3 c_{m+3,n+3} |\varepsilon_{mij}| |\varepsilon_{nkl}|$$

$$\rho \partial_t v_i = \sum_j \partial_j \sigma_{ij},$$

$$\partial_t \sigma_{ij} = \sum_k \sum_l C_{ij,kl} (\partial_k v_l + \partial_l v_k).$$

$$\begin{pmatrix} c_{11} & c_{12} & c_{13} & 0 & 0 & 0 \\ c_{12} & c_{22} & c_{23} & 0 & 0 & 0 \\ c_{13} & c_{23} & c_{33} & 0 & 0 & 0 \\ 0 & 0 & 0 & c_{44} & 0 & 0 \\ 0 & 0 & 0 & 0 & c_{55} & 0 \\ 0 & 0 & 0 & 0 & 0 & c_{66} \end{pmatrix}$$



$$\left\{ \sqrt{\frac{c_{11}}{\rho}}, -\sqrt{\frac{c_{11}}{\rho}}, \sqrt{\frac{c_{55}}{\rho}}, -\sqrt{\frac{c_{55}}{\rho}}, \sqrt{\frac{c_{66}}{\rho}}, -\sqrt{\frac{c_{66}}{\rho}}, 0, 0, 0 \right\}$$

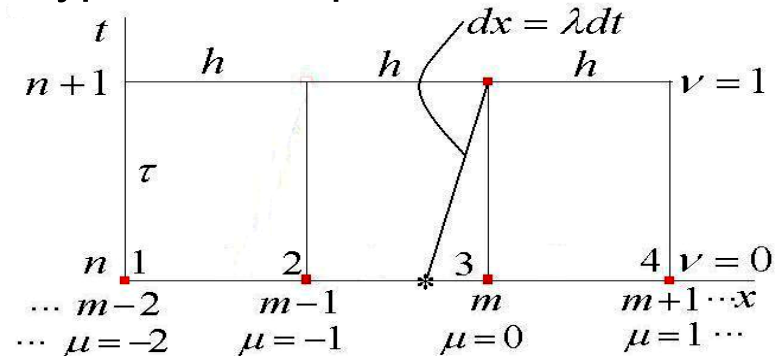
$$\left\{ \sqrt{\frac{c_{22}}{\rho}}, -\sqrt{\frac{c_{22}}{\rho}}, \sqrt{\frac{c_{44}}{\rho}}, -\sqrt{\frac{c_{44}}{\rho}}, \sqrt{\frac{c_{66}}{\rho}}, -\sqrt{\frac{c_{66}}{\rho}}, 0, 0, 0 \right\}$$

$$\left\{ \sqrt{\frac{c_{33}}{\rho}}, -\sqrt{\frac{c_{33}}{\rho}}, \sqrt{\frac{c_{44}}{\rho}}, -\sqrt{\frac{c_{44}}{\rho}}, \sqrt{\frac{c_{55}}{\rho}}, -\sqrt{\frac{c_{55}}{\rho}}, 0, 0, 0 \right\}$$

# Uniform linear transport equation

- Let's start our discussion from the simplest hyperbolic equation

$$\begin{cases} u_t + \lambda u_x = 0, & \lambda = \text{constant} > 0 \\ u(0, x) = u^0(x), & u(t, 0) = u^1(t) \end{cases}$$



- Its solution at an arbitrary point is

$$\begin{cases} u(t, x) = u^0(x - \lambda t) = u_*, & \text{if } x - \lambda t \geq 0 \\ u(t, x) = u^1(t - x / \lambda) = u_*, & \text{if } x - \lambda t < 0 \end{cases}$$

- Thus,  $u(t, x) = u_*$  is the constant along the characteristic:

$$dx = \lambda dt$$

- There are a lot of the difference schemes for this equation which can be written in the common form:

$$u_m^{n+1} = \sum_{\mu, \nu} \alpha_{\mu}^{\nu}(\tau, h) u_{m+\mu}^{n+\nu}, \quad \mu = 0, \pm 1, \dots, \quad \nu = 1, 0, -1, \dots,$$

# Approximation conditions and monotonicity

- For all difference schemes:

- We can write the approximation conditions ( $\sigma = \lambda\tau/h > 0$ ):

$$\text{1st order} \quad \sum_{\mu, \nu} \alpha_{\mu}^{\nu}(\tau, h) = 1, \quad \sum_{\mu, \nu} (\mu - \nu\sigma) \alpha_{\mu}^{\nu}(\tau, h) = -\sigma$$

$$\text{and higher} \quad \sum_{\mu, \nu} (\mu - \nu\sigma)^k \alpha_{\mu}^{\nu} = -(-\sigma)^k, \quad k = 2, 3, \dots$$

- There are a lot of monotonicity criteria:

$$\text{Friedrichs} \quad \alpha_{\mu}^{\nu}(\tau, h) \geq 0$$

$$\text{Harten} \quad - \quad TV(u^{n+1}) = \sum_m |u_{m+1}^{n+1} - u_m^{n+1}| \leq \sum_m |u_{m+1}^n - u_m^n| = TV(u^n)$$

$$\text{Van Leer} \quad - \quad \begin{cases} \min \{u_m^n, u_{m-1}^n\} \leq u_m^{n+1} \leq \max \{u_m^n, u_{m-1}^n\}, & \text{if } 0 < \sigma = \lambda\tau/h < 1 \\ \min \{u_m^n, u_{m+1}^n\} \leq u_m^{n+1} \leq \max \{u_m^n, u_{m+1}^n\}, & \text{if } -1 < \sigma = \lambda\tau/h < 0 \end{cases}$$

# Grid-characteristic method

$$\frac{\partial \vec{u}}{\partial t} + \mathbf{A}_x \frac{\partial \vec{u}}{\partial x} + \mathbf{A}_y \frac{\partial \vec{u}}{\partial y} + \mathbf{A}_z \frac{\partial \vec{u}}{\partial z} = F(x, y, z, t)$$

$$\frac{\partial}{\partial t} \vec{u} + \mathbf{A}_x \frac{\partial}{\partial x} \vec{u} = 0$$

$$\frac{\partial}{\partial t} \vec{u} + \mathbf{A}_y \frac{\partial}{\partial y} \vec{u} = 0$$

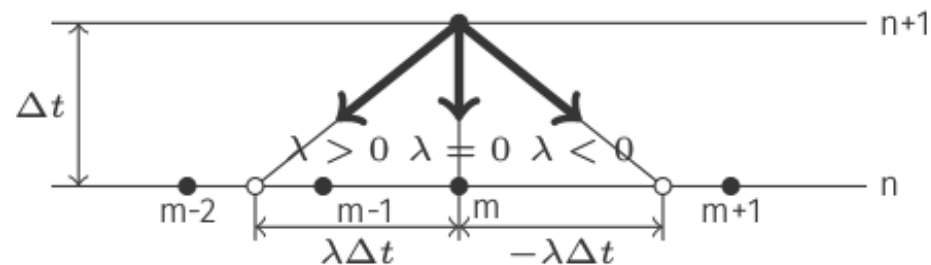
$$\frac{\partial}{\partial t} \vec{u} + \mathbf{A}_z \frac{\partial}{\partial z} \vec{u} = 0$$

$$\frac{\partial}{\partial t} \vec{u} = \vec{f}$$

$$\mathbf{A} = \mathbf{\Omega}^{-1} \mathbf{\Lambda} \mathbf{\Omega}$$

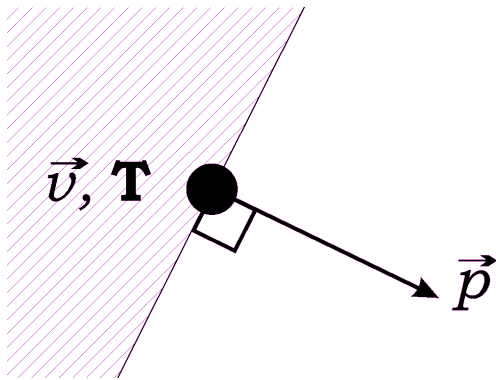
$$\vec{\omega} = \mathbf{\Omega} \cdot \vec{u}$$

$$\frac{\partial \omega_i}{\partial t} + \lambda_i \frac{\partial \omega_i}{\partial x_j} = 0$$



# Граничные и контактные условия

Внешняя граница



- Внешняя сила  
 $\sigma \vec{p} = \vec{f}$

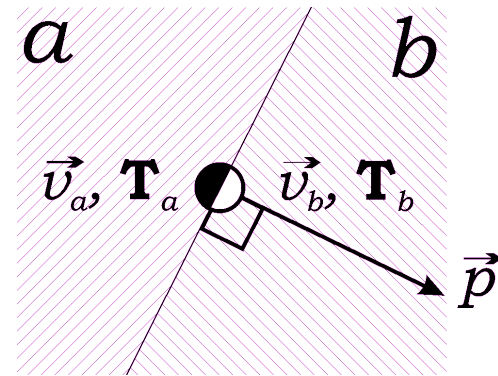
- Скорость на поверхности

$$\vec{v} = \vec{V}$$

- Смешанные граничные условия

- Неотражающие граничные условия

Контактные границы



Условие сцепления

$$\vec{v}_a = \vec{v}_b = \vec{V}, \vec{\sigma}_a = -\vec{\sigma}_b$$

Условие скольжения

$$\vec{v}_a \cdot \vec{p} = \vec{v}_b \cdot \vec{p}, \sigma_p^a = -\sigma_p^b, \sigma_\tau^a = \sigma_\tau^b = 0$$

Контакт между жидкостью и твердым телом

---

**Спасибо  
за внимание!**